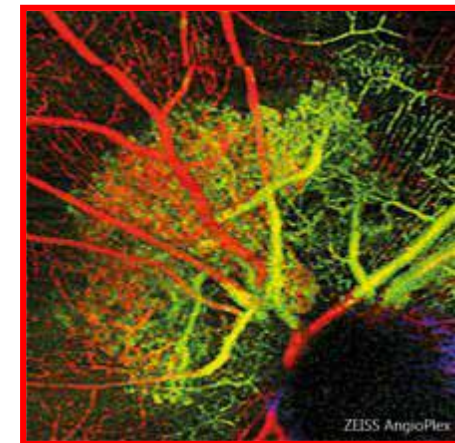
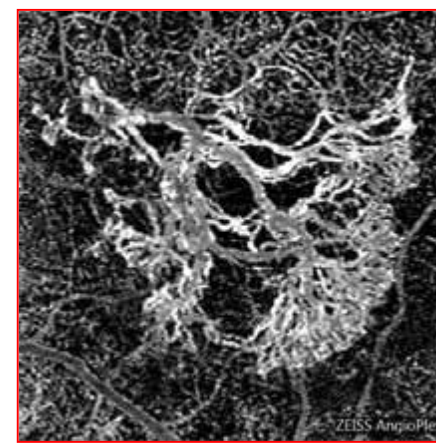
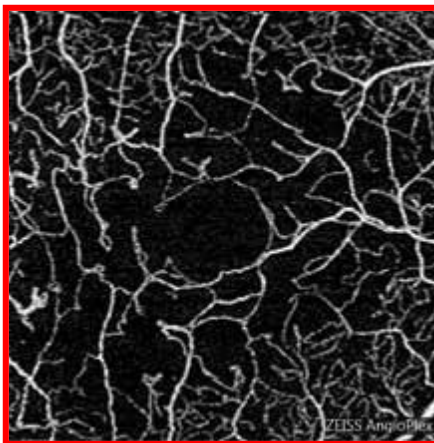
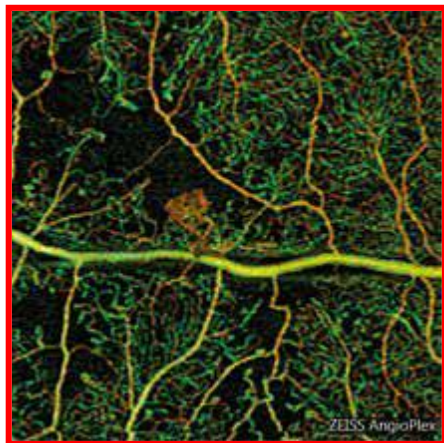


Zeiss Accademy

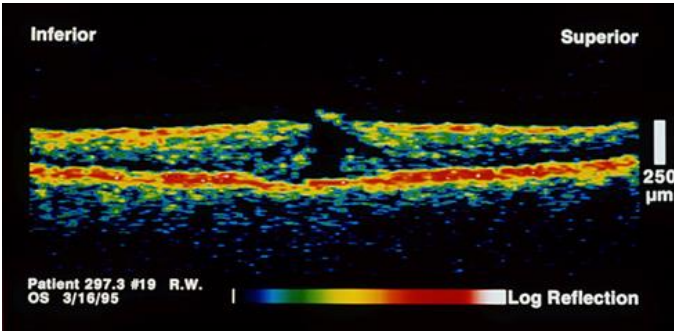
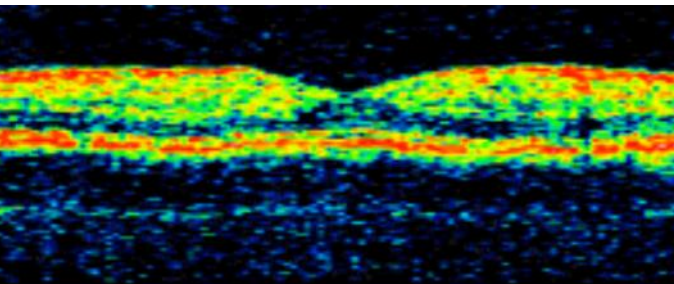
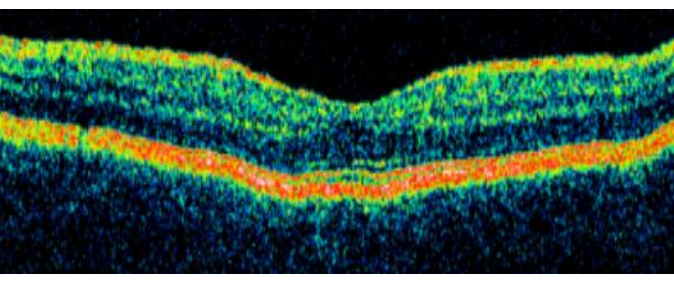
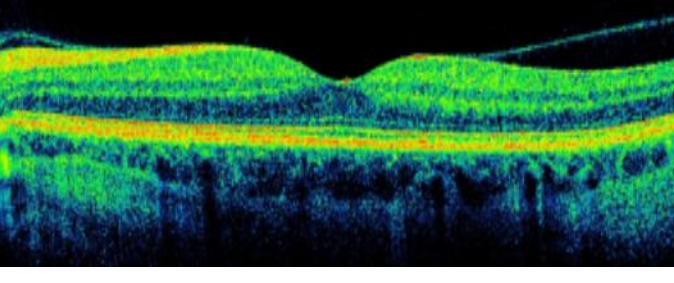
Angio-OCT

We make it visible

Dawn of a New Era in Imaging



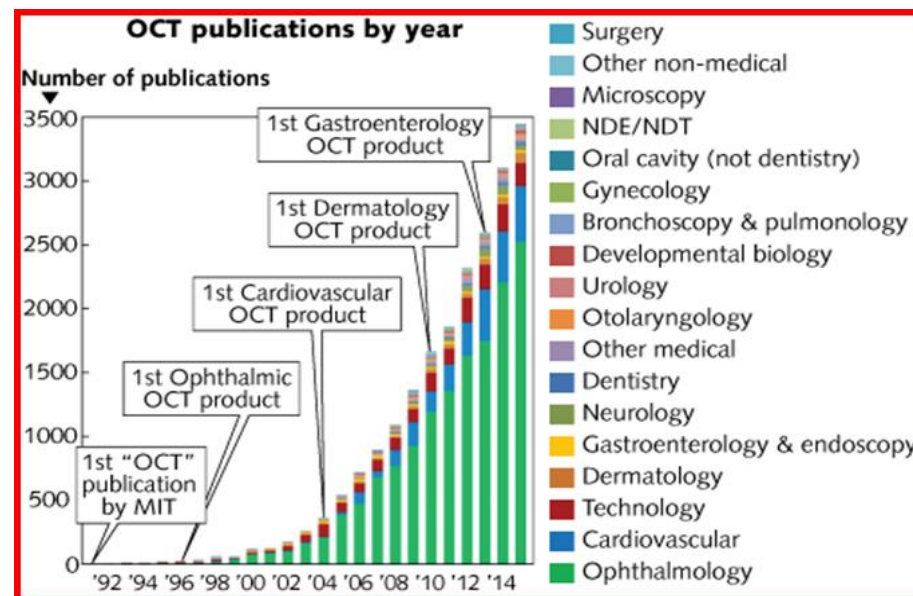
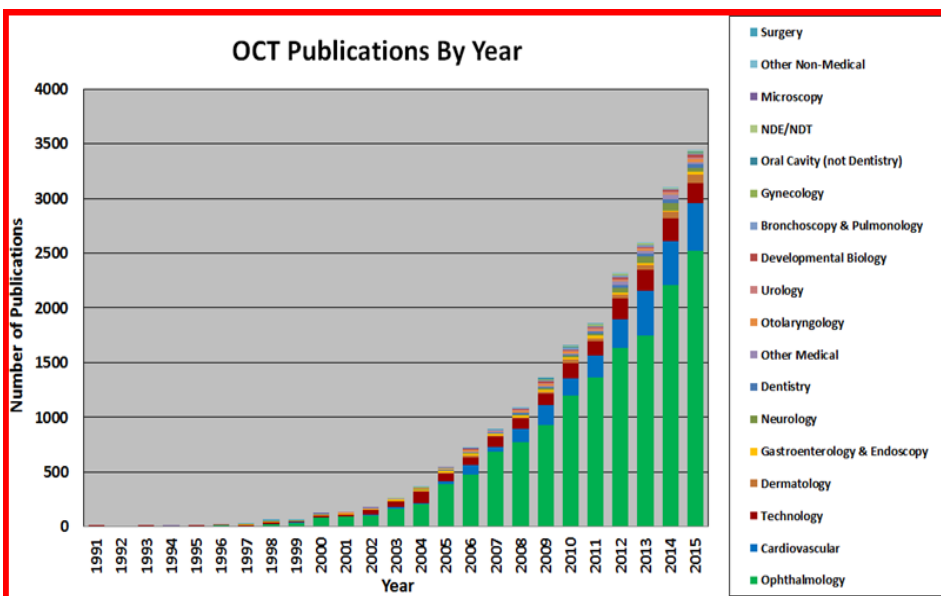
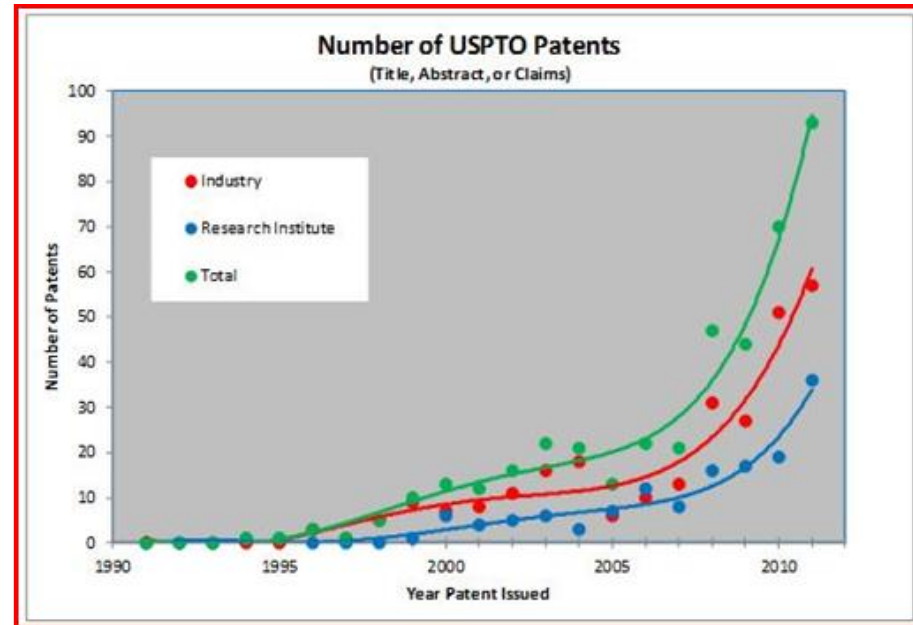
www.amedeolucente.it

Model Image	Year	Single line Scan	Scans Sec	Resolution (microns)	B Scan
	OCT 1995	100 A-scans x 500 points	100	20	
	OCT2 2000	100 A-scans x 500 points	100	20	
	OCT3 Stratus 2002	512 A-scans x1024 points	500	10	
	Cirrus HD-OCT 2007	4096 A-scans x 1024 points	27,000	5	

Foreword: 25 Years of Optical Coherence Tomography

by:James Fujimoto and David Huang

The market is just over \$1B in 2012, and it is expected to grow by 18-30% per year for the foreseeable future



Optical Coherence Tomography Angiography – A General View

Burak Turgut

Department of Ophthalmology, Faculty of Medicine, Firat University, Elazig, Turkey

DOI: <http://doi.org/10.17925/EOR.2016.10.01.39>

Table 1: The comparison of the specifications of main OCTA systems

AngioPlex*	AngioVue®	Spectralis OCTA®	SS OCT Angio™	AngioScan®	Angio eXpert®
<ul style="list-style-type: none">Commercially availableOMAG algorithmUsed a light source of 840 nm and a bandwidth of 90 nmOCTA mean scan time: 3.8 secondsReal-time FastTrackeye tracking systemAllowing visualisation of both the retinal flow and structure3x3 mm 4.5x4.5 mm, 6x6 mm and 8x8 mm OCT angiograms (in 2016 planning 8x8 mm and 12x12 mm)Segmentation algorithms including the maps of the superficial retina, the deep retina, avascular retina choriocapillaris and choroid68,000 A-scans/secOCTA requires 1 scanMotion correction software to remove artifactsEn-face microvascular flow images en-face map of the retinal and choroidal blood flow	<ul style="list-style-type: none">Commercially availableSSADA algorithmUsed a light source of 840 nm and a bandwidth of 45 nmOCTA mean scan time: 3 secondsAllowing visualisation of both the retinal flow and structure3x3 mm 4.5x4.5 mm, 6x6 mm and 8x8 mm OCT angiogramsSegmentation algorithms including plexus of the superficial retinal capillary plexus, the deep retinal capillary plexus, the choriocapillaris70,000 A-scans/secOCTA requires 2 separate scansNo eye tracking systemMotion Correction Technology software to remove artifactsAngio quantification with AngloAnalytics quantificationEn-face map of the retinal and choroidal blood flow	<ul style="list-style-type: none">Not available in all countriesAmplitude decorrelation algorithmUsed a light source of 870 nm with bandwidth of 50 nmAn automated, realtime mode and an Active Eye Tracking SystemExpect a long acquisition time (1-2 minutes per eye)85,000 A-scans/sec with upgrading to new OCT2 moduleExpect a good image qualityBasic software interface, not yet refinedNo detailed information on segmentation capabilityNo detailed data on device specifications and software	<ul style="list-style-type: none">Not available in all countriesSwept Source OCTOCTARA algorytmUsed a light source of 1,050 nm100,000 A scan/secScan size (mm) 3.0x3.0 mm, 4.5x4.5 mm, 6.0x6.0 mmSMARTITrack tracking softwareMulti-modal SS-OCT/fundus camera with OCT AngiographyExpect a wide field, deep penetrationSegmentation algorithms including superficial, deep, outer retina and choriocapillarisNo active motion correction software	<ul style="list-style-type: none">Not available in all countriesModified OMAG algorithm (motion detection and decorrelation analysis)Used a light source of 880 nm3x3 mm, 6x6 mm, 9x9 mm scans plus 12x9 mm montage (12 3x3 mm scans) widest field of view53,000 A-scans/secLong scan time (40 sec+)Real-time SLO based tracking systemMultiple scan patternsMontage ability for panoramic imageSegmentation algorithms including superficial, deep, outer retina and choriocapillarisThe visualisation of the retinal and choroidal blood flow	<ul style="list-style-type: none">Not available in all countriesNo data in web about the used OCTA algorithmUsed a light source of 855 nm ± 5 nmSegmentation algorithms including superficial, deep, outer retina and choriocapillaris3x3 to 8x8 mm OCT angiogramsOCTA mean scan time: appr. 3.0 secondsMaximum 70,000 A-scans/secThe superficial and deeper blood vessels a designated layerSLO tracking follow-upAuto fundus tracking by SLONo information on the visualisation of the retinal and choroidal blood flowNo detailed data on device specifications and softwares

Data on all OCTA devices and systems have been provided from the catalogues, manuals and web pages. * Zeiss, ®OcuVue, ®Heidelberg, ®Topcon, ®Nidek, ®Canon. OCT = optical coherence tomography; OCTA = optical coherence tomography angiography; OCTARA = OCT angiography Ratio Analysis; OMAG = optical microangiography; SLO = scanning laser ophthalmoscope; SS = swept-source; SSADA = split-spectrum amplitude decorrelation angiography.



=

- 55,9% Zeiss OCT
 - 35,6% Heidelberg By Mark Hillen
 - 6,4% Topcon
 - 2,1% Nidek
- Benchmarking OCT.
The Ophthalmologist,
February 2016

- Zeiss →AngioPlex Cirrus 5000
- Optovue→RTvue Avanti AngioVue
- Topcon→DRI OCT Triton
- Heidelberg→Spectralis con modulo OCT2
- Nidek→RS-3000 Advance OCT Angio-Scan
- Canon →OCT-HS100 Angio-eXpertcon modulo AX (Gruppo Haag-Streit)

- HD-Cirrus Zeiss68.000 A-Scan/Sec →OMAGc (Optical Microangiography complex)
- RTvue Avanti Optovue70.000A-Scan/Sec →SSADA (Split Spectrum Amplitude Decorrelation Angiography)
- SS OCT DRI OCT Topcon100.000A-Scan/Sec →OCTARA (OCT Angiography Ratio Analysis)
- Spectralis Heidelberg70.000 A-Scan/Sec →Full SADA (Spectrum Amplitude Decorrelation Algorithm)

The algorithms used in OCTA

- Optical microangiography (OMAG),
- Split-spectrum amplitude decorrelation angiography (SSADA)
- OCT angiography ratio analysis (OCTARA)
- Speckle variance
- Phase variance
- Correlation mapping.

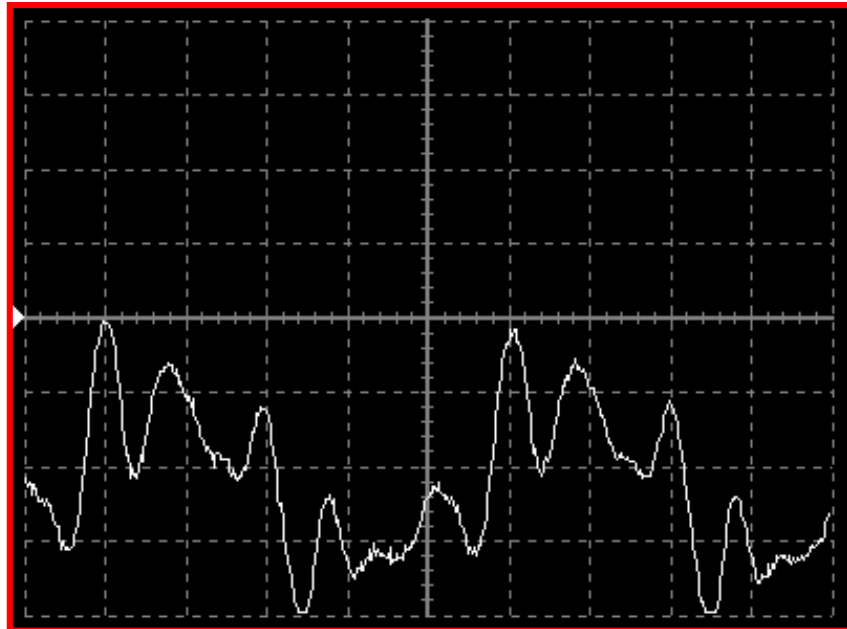
Zhang A, Zhang Q, Chen CL, Wang RK

Methods and algorithms for optical coherence tomography-based angiography: a review and comparison. J Biomed Opt. 2015 Oct;20(10):100901. doi: 10.1117/1.JBO.20.10.100901.

In a recent study, when algorithms including OMAG, speckle variance, phase variance, SSADA and correlation mapping were compared, it was found that OMAG, as the method utilising complex OCT signals to contrast retinal blood flow provided the best visual result for the of retinal microvascular networks concerning image contrast and vessel connectivity.

Dawn of a New Era in Imaging

x(t) vs X(f)

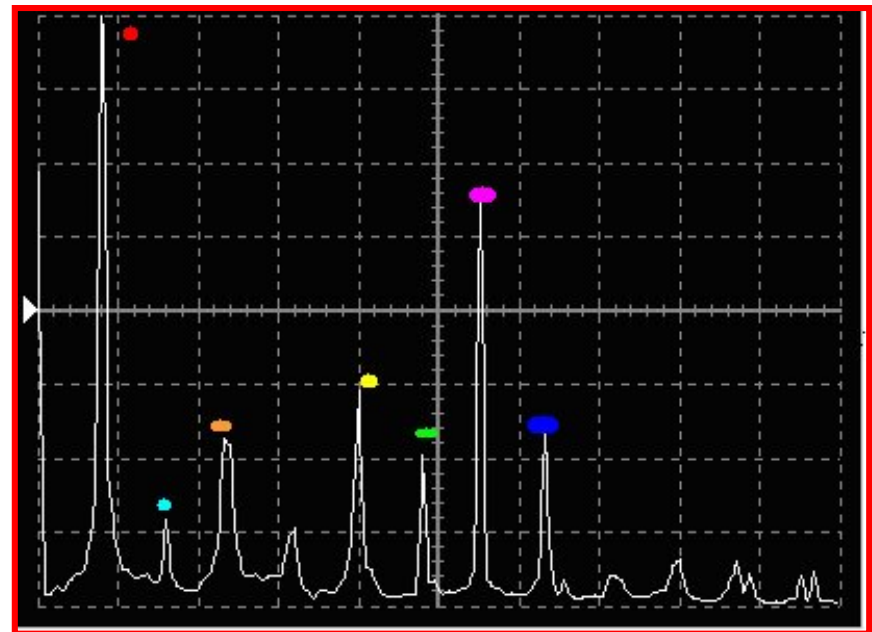


Nota musicale «la» di un clarinetto registrata tramite oscilloscopio nel dominio del tempo $x(t)$

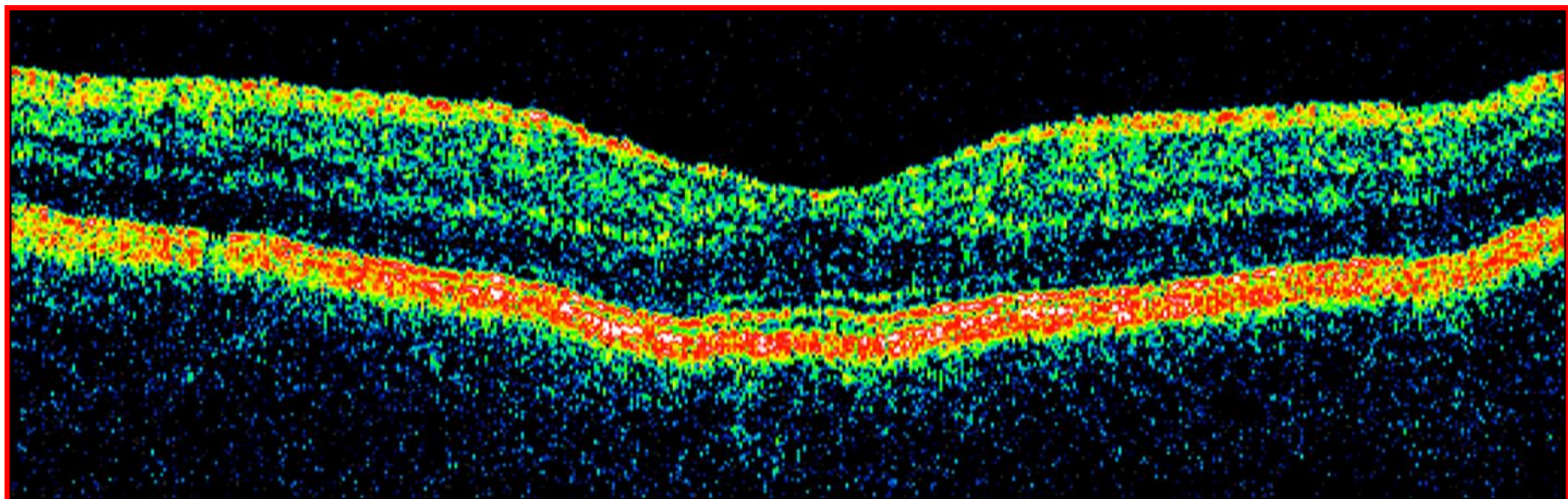
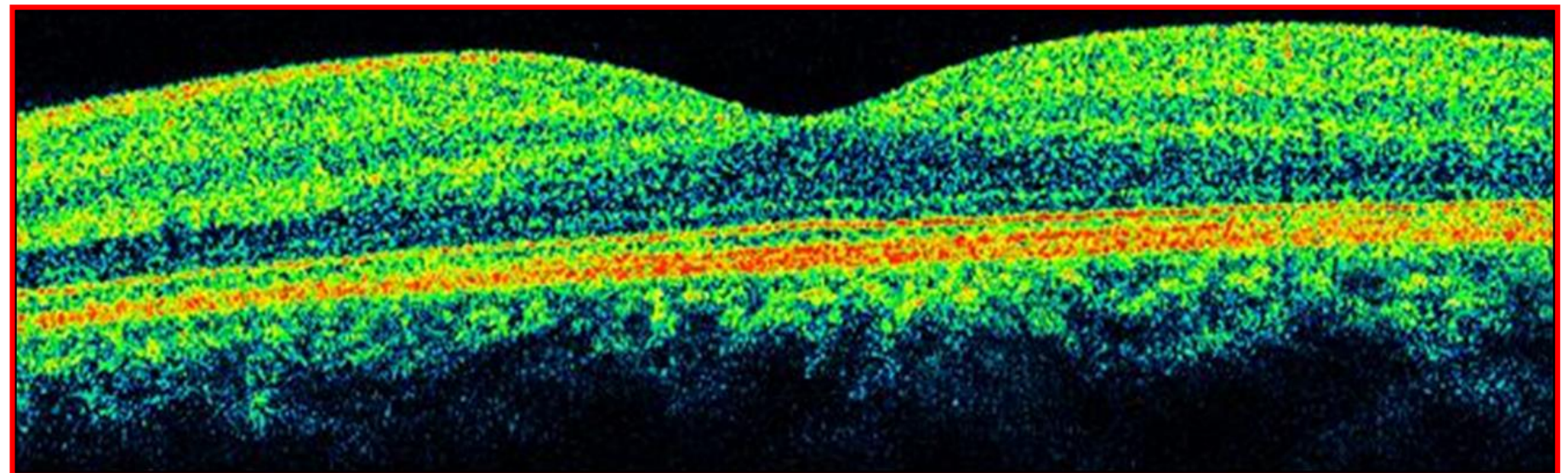
$$X(f) = \int_{-\infty}^{+\infty} x(t) \cdot e^{-j 2\pi f t} dt$$

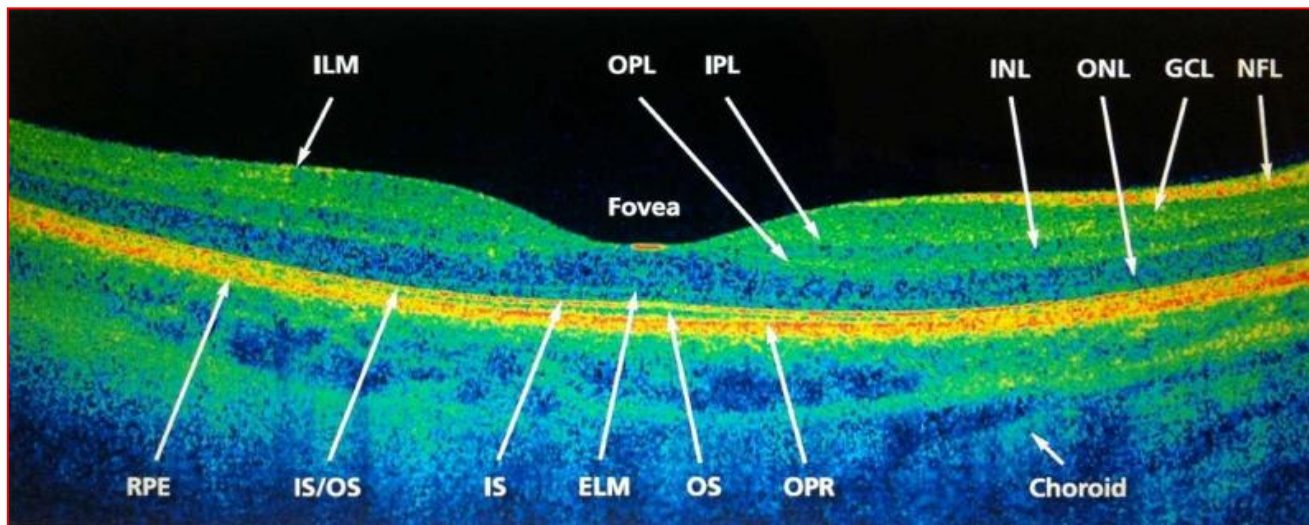
$$x(t) = \int_{-\infty}^{+\infty} X(f) \cdot e^{+j 2\pi f t} df$$

Trasformata e Antitrasformata di Fourier

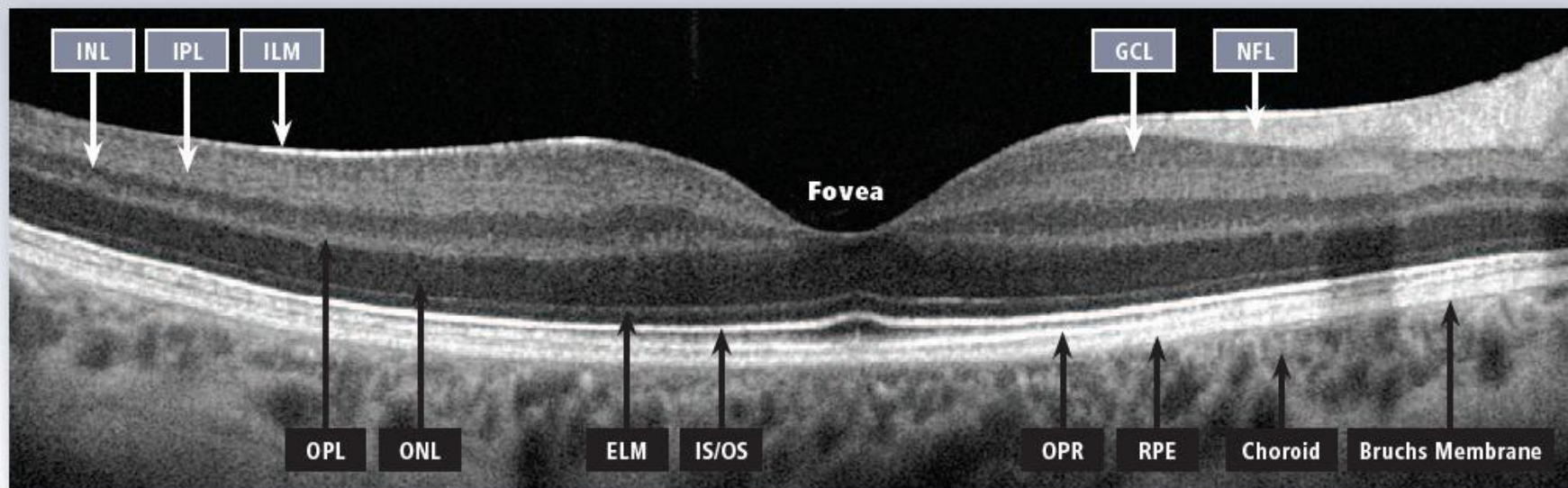


Nota musicale «la» di un clarinetto scomposta in sotto-onde nel dominio delle frequenze $X(f)$

$x(t)$  $x(f)$ 



Cirrus™ HD-OCT: interpretation of retinal layers

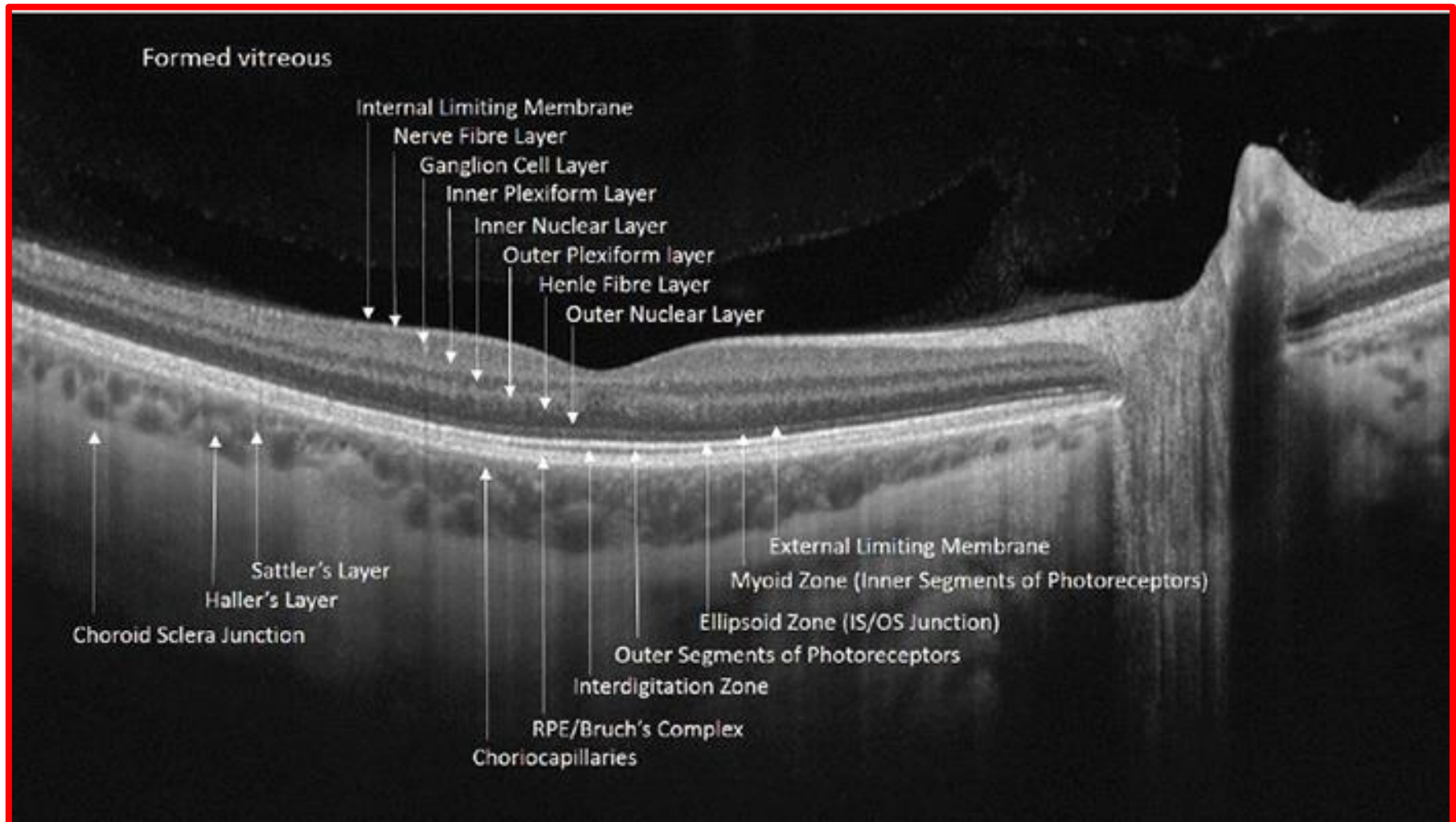


ILM: Inner limiting membrane
 IPL: Inner plexiform layer
 INL: Inner nuclear layer
 OPL: Outer plexiform layer
 ONL: Outer nuclear layer

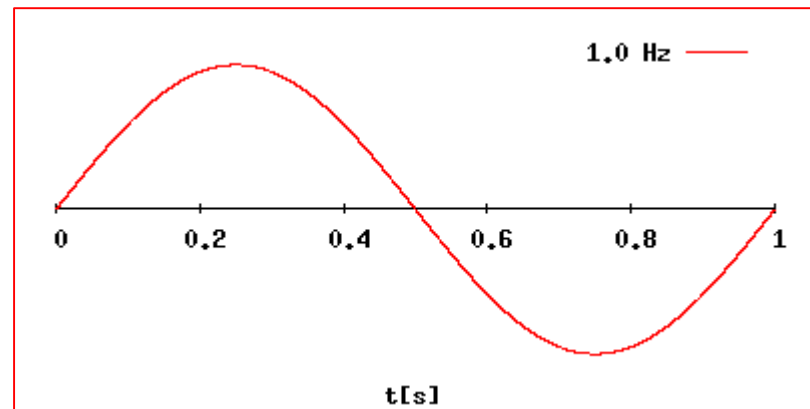
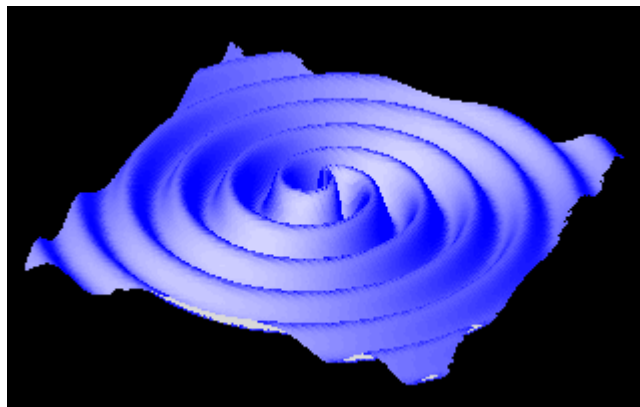
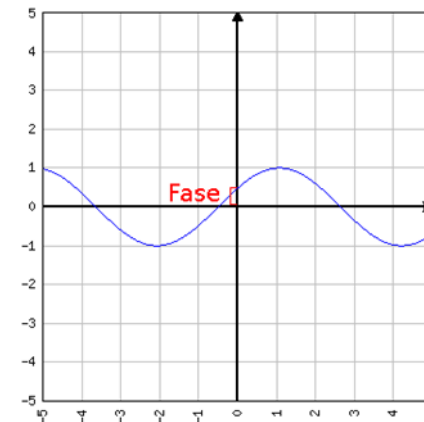
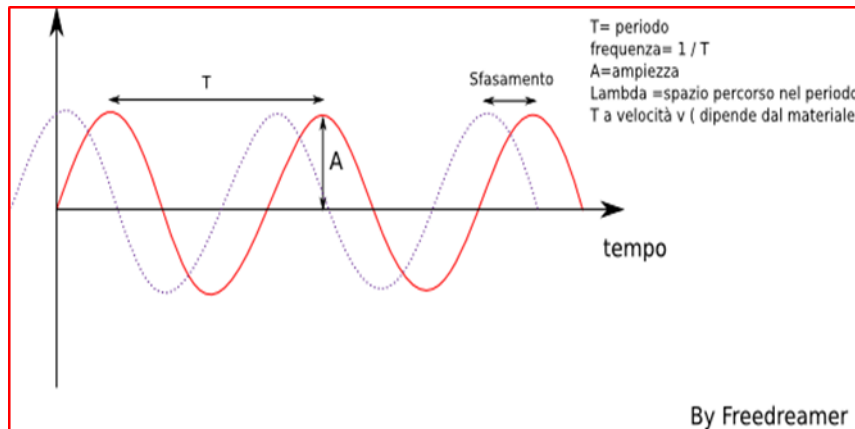
ELM: External limiting membrane
 IS/OS: Junction of inner and outer photoreceptor segments
 OPR: Outer segment PR/RPE complex

NFL: Nerve fiber layer
 GCL: Ganglion cell layer
 RPE: Retinal pigment epithelium + Bruchs' Membrane

International Nomenclature OCT (INOCT)

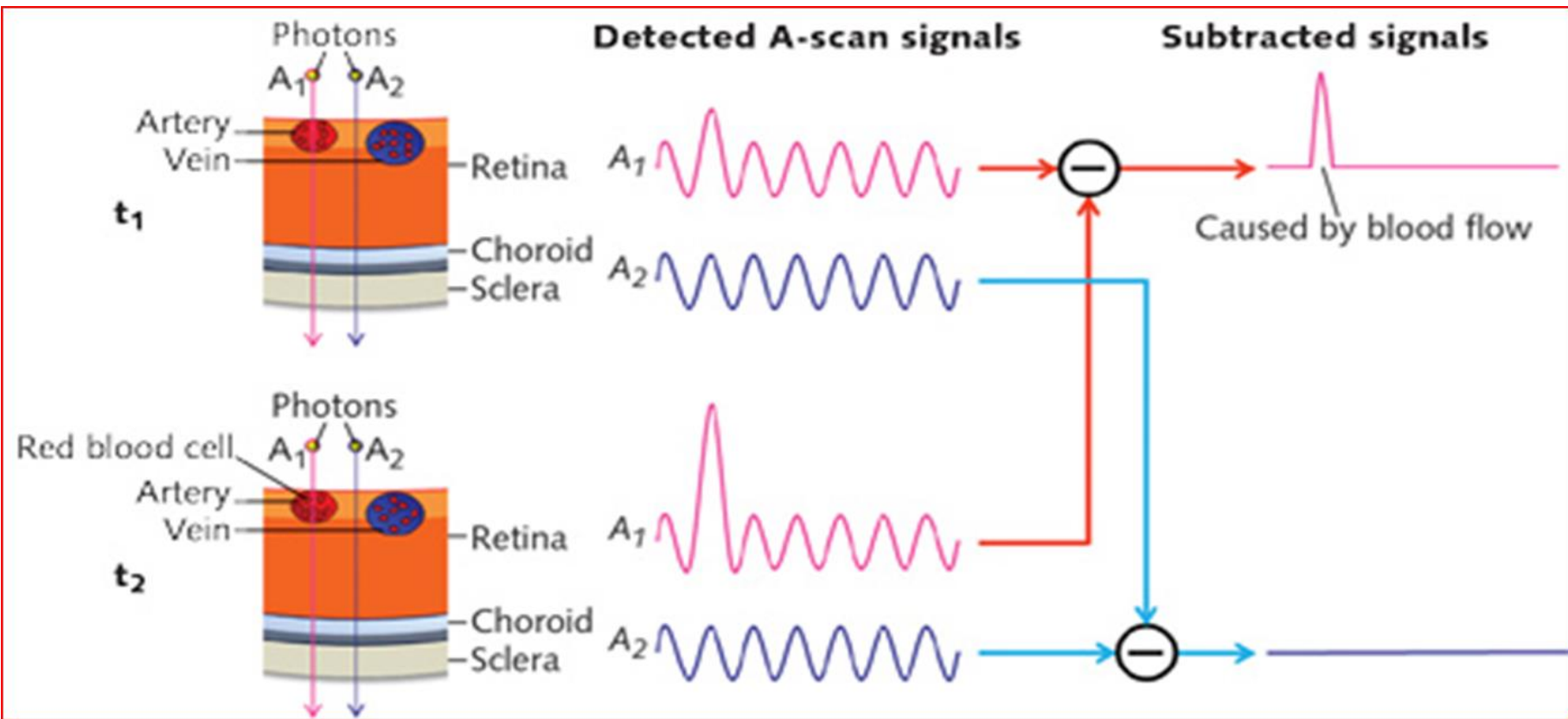


What is a wave? «energy propagated through matter» A. Einstein



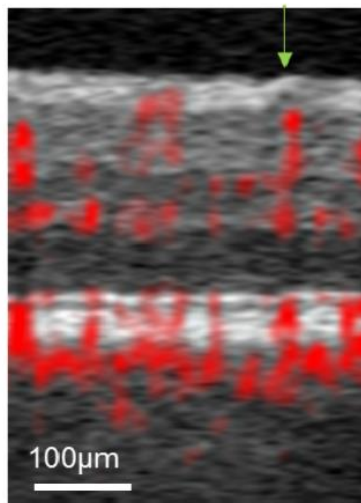
- a) Angiografia dyeless basata sull'ampiezza del segnale OCT
- b) Angiografia dyeless basata sulla fase del segnale OCT
- c) Angiografia dyeless basata sull'ampiezza e sulla fase del segnale OCT
(complex signal)

How OCTA Works



As **moving blood cells** pass through vessels, they **generate changes in OCT signals**. Based on this concept, a **blood flow signal can be extracted by subtracting the OCT signals from the same location but at different time points (red path)**. The OCT signals will be different at these locations, while OCT signals from surrounding retinal tissues will remain steady (**blue path**).

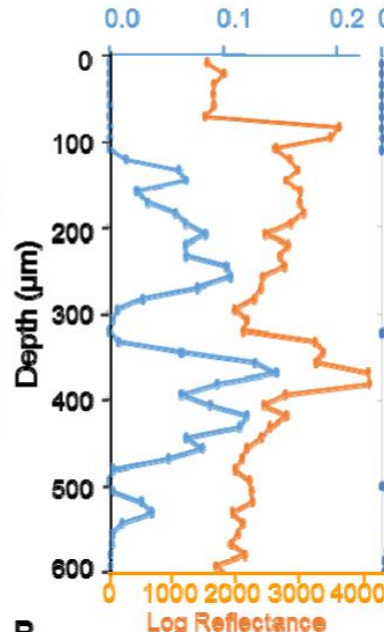
Original OCT-A

**A**

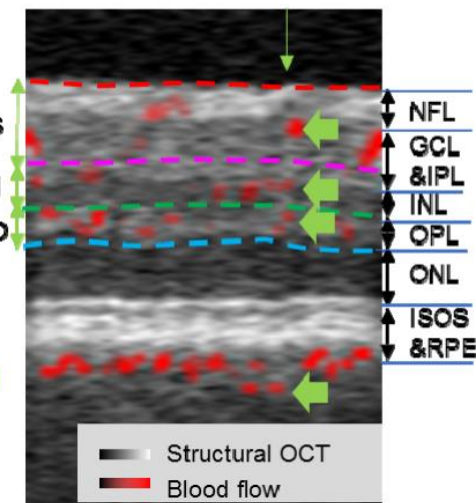
Decorrelation

$$\frac{10^4 \text{Decorrelation}}{\text{Log Amplitude}}$$

$$\text{Resolved Decorrelation}$$

**B****C****D**

PR OCT-A



S: Superficial. I: Intermediate. D: Deep

E

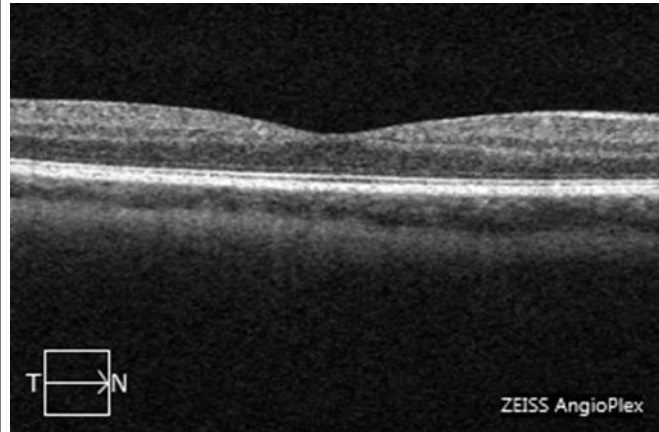
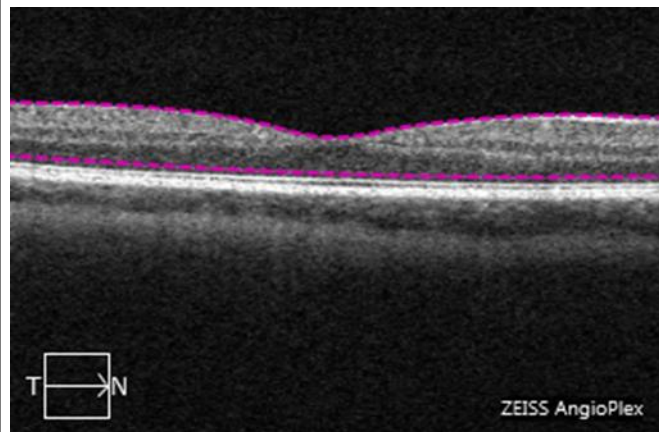
Illustration of projection-resolved (PR) OCT-A algorithm.

- (A) Composite crosssectional OCT-A before projection suppression. This 0.23 mm wide example is taken from the parafoveal region. (B) Original decorrelation and log amplitude values of the A-line pointed to by the green arrow in A. (C) Decorrelation normalized by log amplitude according to Eq $F = D/S$, $F = \text{Flow}$, $D = \text{Decorrelation}$, $S = \log \text{OCT signal}$. Four successively higher peaks (green arrows) on this plot represent in situ flow in real vessels. (D) Decorrelations plot after clean up by the PR algorithm – decorrelation values outside the successive peaks represented projection artifacts and were set to zero (Eq. (3)). (E) Composite cross-sectional OCT-A after clean-up of projection artifacts using the PR algorithm. The green arrows in pointed at the same voxels identified as real vessels in C and D. Note that 4 vessels co-existing along the same A-line could be identified on the PR OCT-A, and their axial positions could be pinpointed. The PR OCT-A of the macula shows 3 distinct vascular plexuses in the inner retina - superficial, intermediate, and deep – as has been described in previous histological studies . **by: David Huang and Yali Jia et al. ; published 9 Feb 2016; BIOMEDICAL OPTICS EXPRESS 816**

AngioPlex Analysis Layer

- 8 slab

AngioPlex Analysis Layer Presets: Retina Depth Encoded and Retina

Layer Preset	Layer Boundaries	Example Image (Normal Eye)	B-scan with Layers
Retina Depth Encoded 	Combination of: Superficial, Deep, and Avascular Superficial: Red Deep: Green Avascular: Blue	 ZEISS AngioPlex	 T  N ZEISS AngioPlex
Retina	Inner Boundary: ILM Outer Boundary: RPE = RPEfit - 70µm	 ZEISS AngioPlex	 T  N ZEISS AngioPlex

AngioPlex Analysis Layer Presets: VRI and Superficial

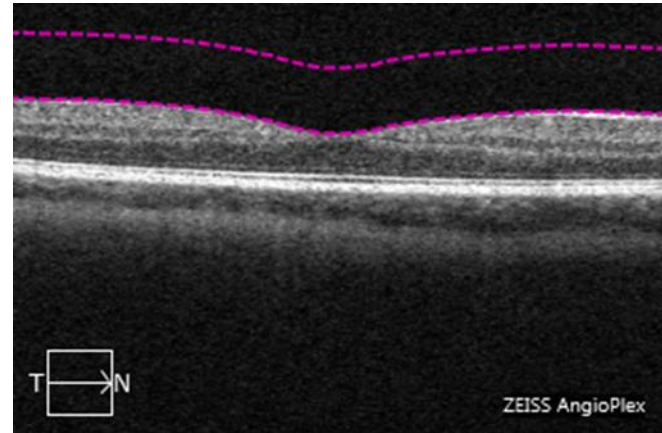
- VRI Vitreo-Retinal Interface



Inner Boundary

— 300µm

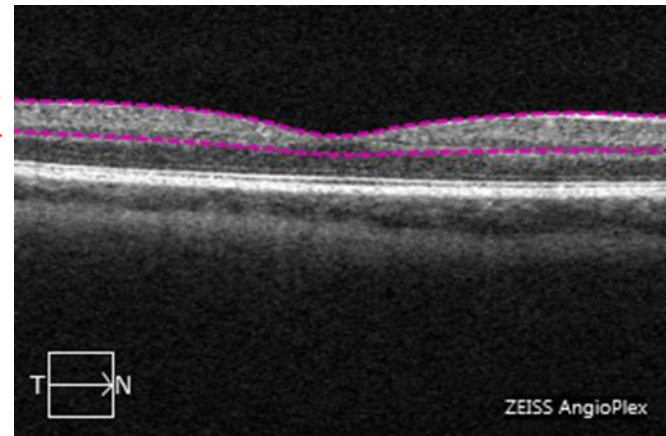
Outer Boundary ILM



Inner Boundary ILM

IPL=ILM+70%(OPL-ILM)

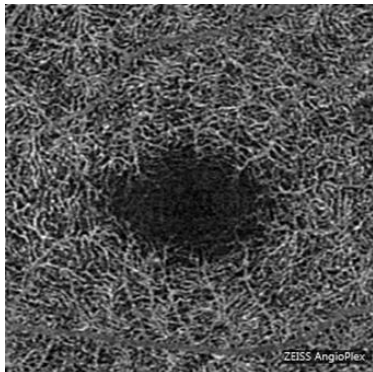
Outer Boundary IPL



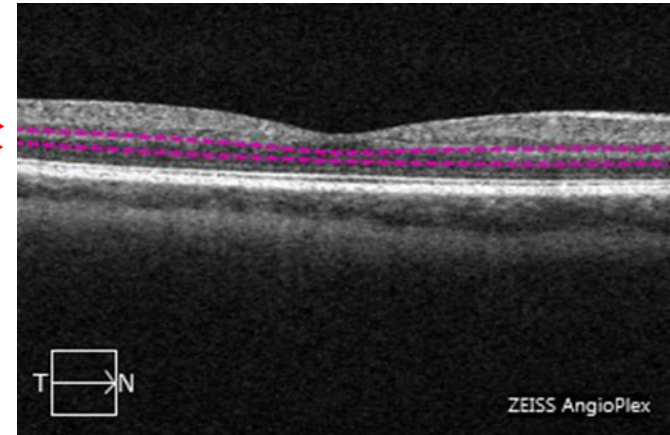
- Superficial Superficial Retinal Layer

AngioPlex Analysis Layer Presets: Deep and Avascular

- Deep Deep Retinal Layer



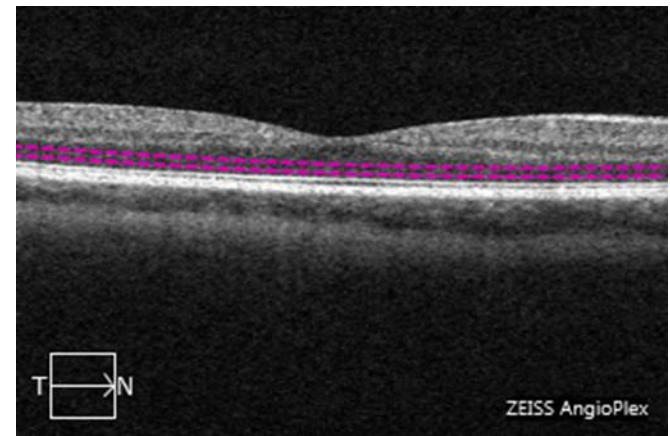
Inner Boundary IPL
Outer Boundary OPL=RPEfit=110 μ m



- Avascular Avascular Retina

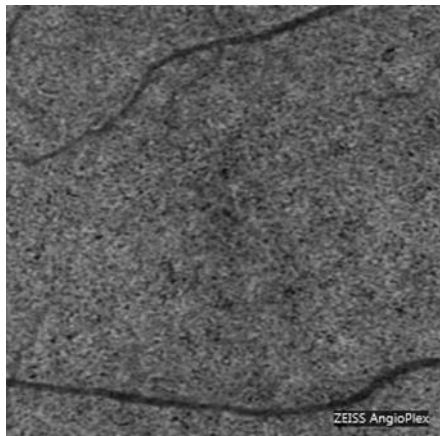


Inner Boundary OPL
Outer Boundary IS/OS=RPEfit-70 μ m



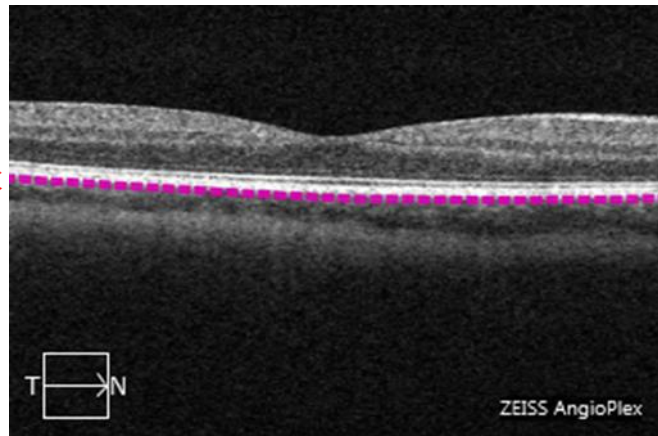
AngioPlex Analysis Layer Presets: Choriocapillaris and Choroid

- Choriocapillaris

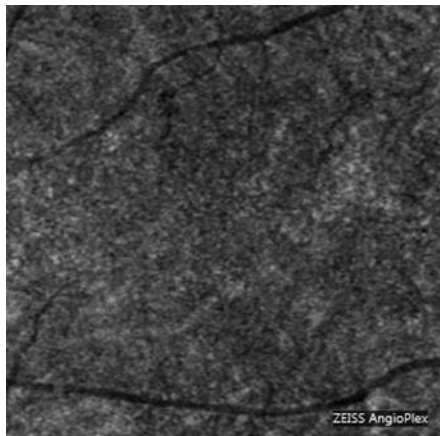


Inner Boundary CCIB=RPE+29 μ m

Outer Boundary CCOB = RPE+49 μ m

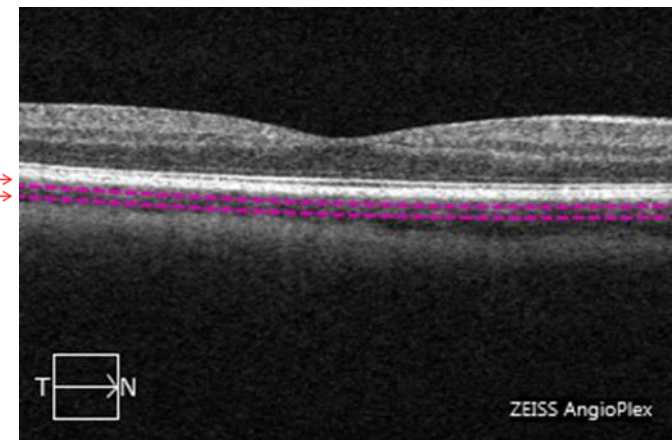


- Choroid



Inner Boundary ChIB = RPEfit + 64 μ m

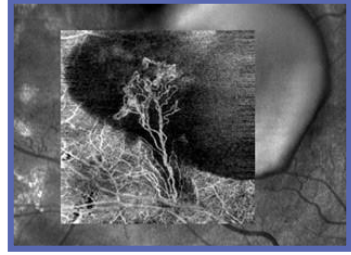
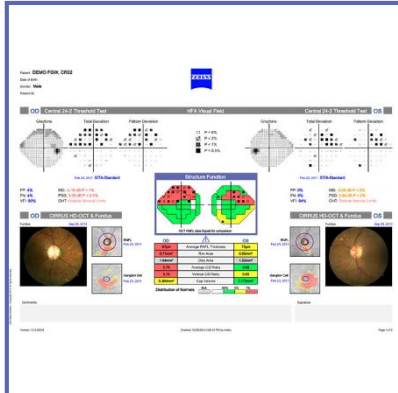
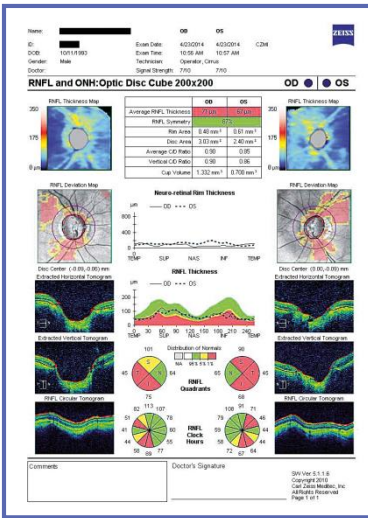
Outer Boundary ChOB = RPEfit + 115 μ m



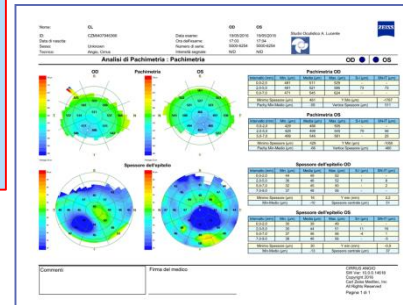
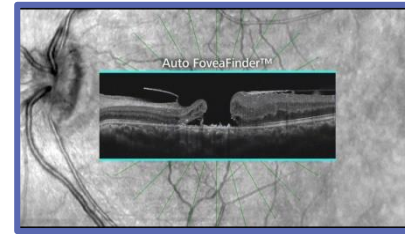


INDEX Angio Plex Cirrus

AngioPlex™ OCT
Angiography En face
Analysis Advanced RPE Analysis
Macular Thickness Analysis
Macular Change Analysis
HD 1 line
HD 21 Line
RNFL and ONH Analysis
ONH/RNFL Guided Progression Analysis™ (GPA™)
Ganglion Cell Analysis
GCA Guided Progression Analysis (GPA)
PanoMap™ Analysis
Anterior ChamberAnalysis
Wide Angle-to-Angle
Analysis Pachymetry (epithelial and stromal thickness maps)
Analysis HD Cornea
HD Angle
HFA-CIRRUS Structure-Function Report



The first full anterior chamber view from a retinal OCT ChamberView™ (15.5 mm x 5.8 mm)



AngioPlex Metrix™for HD-Cirrus 5000

- **Density measure (ETDRS, central, inner, full)**

densità dei vasi/Vessel Density

densità di perfusione/Flow Index

- **FAZ Parameters**

Area mm²

Perimetro (mm)

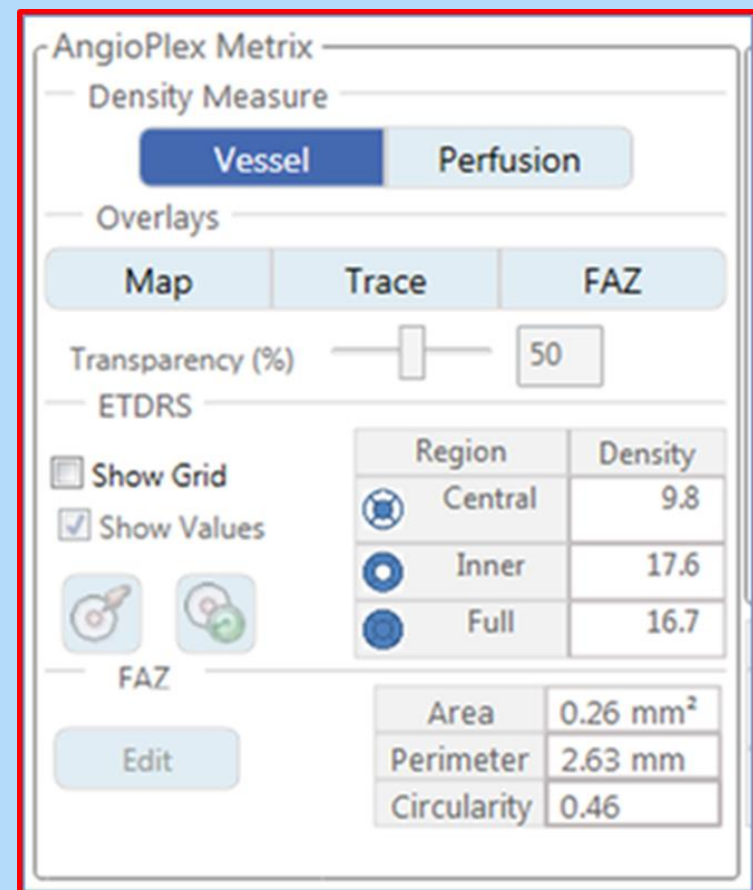
Circolarità della FAZ

- **Angiography Change**

Vessel Density

Flow Index

FAZ



AngioPlex Metrix: Angiography Analysis/Change Screen

AngioPlex Metrix

Density Measure

Vessel Perfusion

Overlays

Map Trace FAZ

Transparency (%) 50

ETDRS

Show Grid Show Values

FAZ

Edit

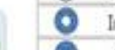
Region	Density
Central	9.8
Inner	17.6
Full	16.7

Area	0.26 mm ²
Perimeter	2.63 mm
Circularity	0.46

Slab: Top: ILM 0 Bottom: IPL 0

ETDRS

Show Grid
Show Values

Region	Exam 1	Exam 2	Difference
Central	8.0	9.8	1.8 (23%)
Inner	16.8	17.6	0.8 (5%)
Full	15.8	16.7	0.9 (6%)

AngioMetrics

Density Measure

Vessel Perfusion

Overlays

Map Trace FAZ

Transparency (%) 50

Slab: Top: ILM 0 Bottom: IPL 0

FAZ

	Exam 1	Exam 2	Difference
Area	0.24 mm ²	0.26 mm ²	0.02 mm ² (8%)
Perimeter	2.18 mm	2.63 mm	0.45 mm (21%)
Circularity	0.64	0.46	-0.18 (-28%)

Perfusion Density/Flow Index and Vessel Density

$$\text{Perfusion Density} = \frac{\text{Area Perfusa [mm}^2\text{]}}{\text{Area Totale [mm}^2\text{]}}$$

$$\text{Vessel Density [mm}^{-1}\text{]} = \frac{\text{Lunghezza Vasi [mm]}}{\text{Area Totale [mm}^2\text{]}}$$

The flow index is defined as the average decorrelation values in the segmented area

$$\frac{\int_A D \cdot V dA}{\int_A dA}$$

If not
($V=1$, if vessel; $V=0$,

The VD was defined as the percentage of signal-positive pixels/area of interest

The Vessel Density is defined as the percentage area occupied by vessels the segmented area

$$\frac{\int_A V dA}{\int_A dA}$$

If not
($V=1$, if vessel; $V=0$,

Numero di pubblicazione WO2014040070 A1

Tipo di pubblicazione Richiesta

Numero domanda PCT/US2013/059047

Data di pubblicazione 13 mar 2014

Data di registrazione 10 set 2013

Data di priorità 10 set 2012

Pubblicato anche come CA2883402A1, Altri 5 »

Inventori David Huang, Yali Jia, Jason Tokayer, Ou Tan

Candidato Oregon Health & Science University

Esporta citazione BiBTeX, EndNote, RefMan

Citazioni di brevetti (5), Con riferimenti in (1), Classificazioni (15), Eventi legali (4)



// INNOVATION
MADE BY ZEISS

>>>*Clinical Cases.....*

.....*Enter the New Era of Retinal Care by Zeiss*



Nome: VF
ID: 783893887
Data di nascita:
Sesso: Donna
Tecnico: Angio, Cirrus

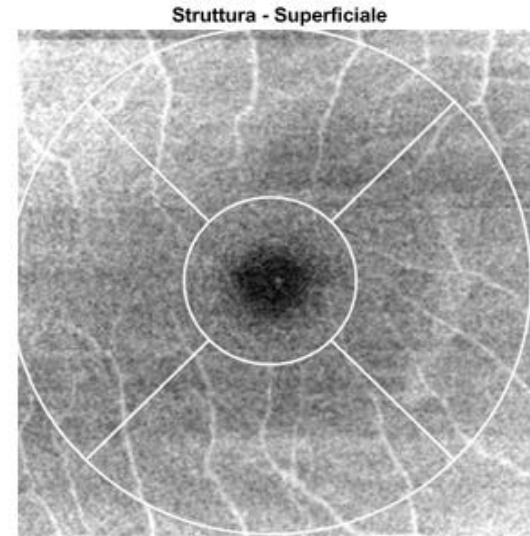
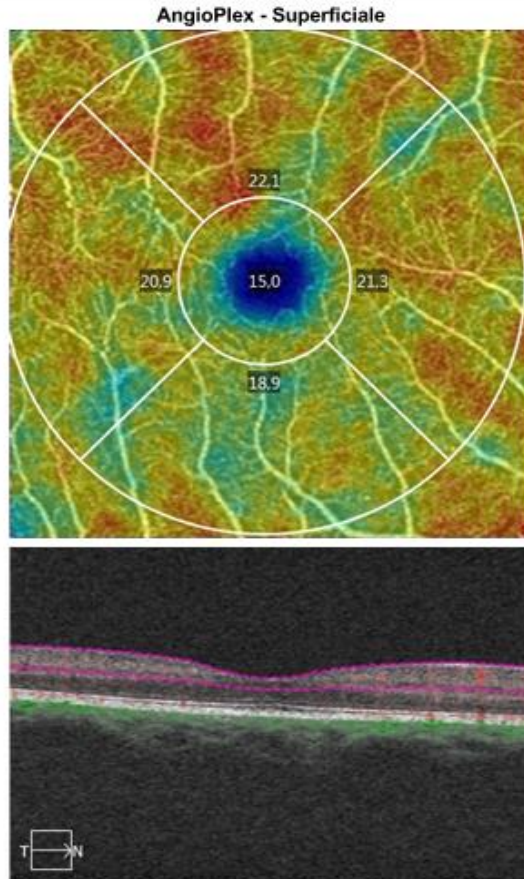
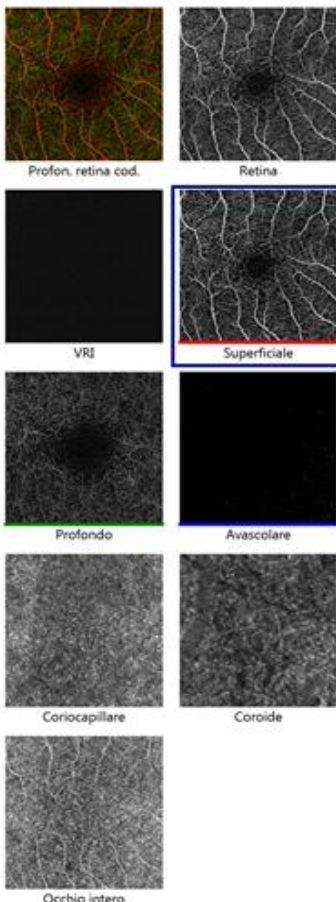
OD
Data esame: 20/02/2016
Ora dell'esame: 09:20
Numero di serie: 5000-6254
Intensità segnale: 10/10

Studio Oculistico A. Lucente



Analisi dell'angiografia : Angiography 3x3 mm

OD OS



Sovraposizioni
Struttura - Nessuno
AngioPlex - Vaso Mappa

AngioPlex Metric

ETDRS - Vaso

Regione	Densità
Centrale	15,0 mm ⁻¹
Interna	20,8 mm ⁻¹
Completo	20,2 mm ⁻¹

FAZ

Area	0,16 mm ²
Perimetro	1,78 mm
Circolarità	0,64

Monitorato durante la scansione

Commenti

Firma del medico

CIRRUS ANGIO
SW Ver: 10.0.0.14618
Copyright 2016
Carl Zeiss Meditec, Inc
All Rights Reserved
Pagina 1 di 1

Nome:

VF due

ID:

783893887

Data di nascita:

Data esame:

OD

Sesso:

Donna

Ora dell'esame:

20/02/2016

Tecnico:

Angio, Cirrus

Numero di serie:

09:20

Intensità segnale:

5000-6254

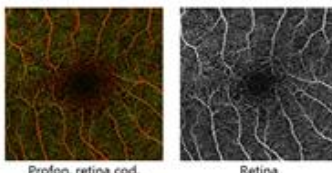
10/10

Studio Oculistico A. Lucente



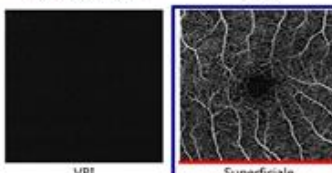
Analisi dell'angiografia : Angiography 3x3 mm

OD OS



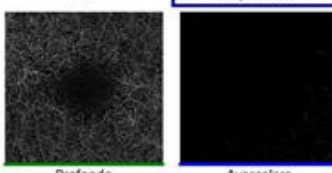
Profond. retina cod.

Retina



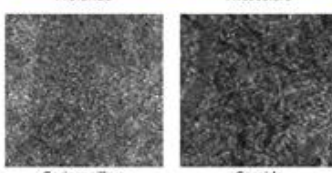
VRII

Superficiale



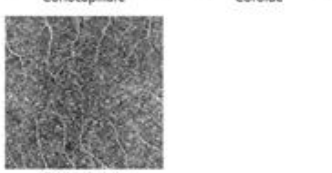
Profondo

Avascolare

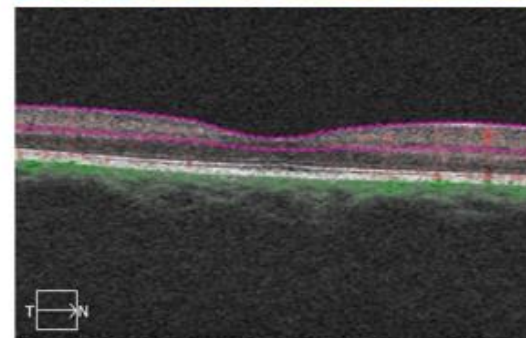
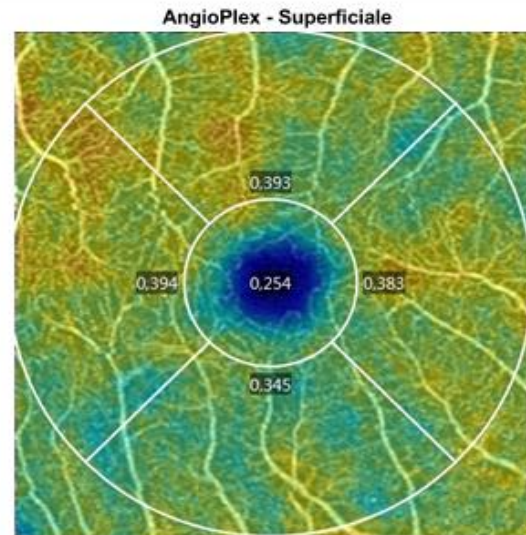


Coriocapillare

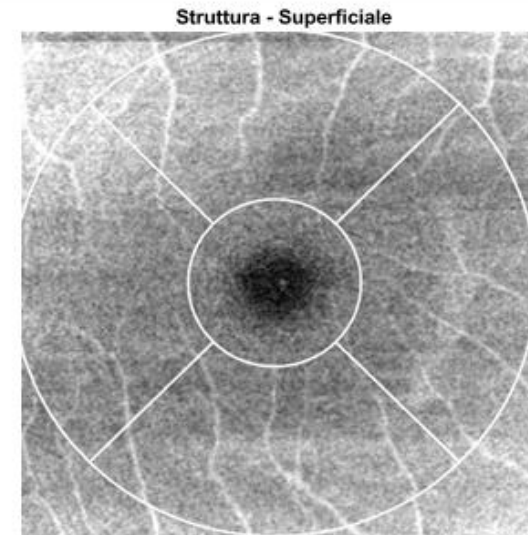
Coroide



Occhio intero



Segmento: 122 Parte sup.: ILM Parte inf.: IPL



Sovraposizioni
Struttura - Nessuno
AngioPlex - Perfusion Mappa

AngioPlex Metric
ETDRS - Perfusion FAZ

Regione	Densità
Centrale	0,254
Interna	0,379
Completo	0,365

Area	0,16 mm ²
Perimetro	1,78 mm
Circolarità	0,64

Monitorato durante la scansione

Commenti

Firma del medico

Nome: VF tre
ID: 783893887
Data di nascita:
Sesso: Donna
Tecnico: Angio, Cirrus

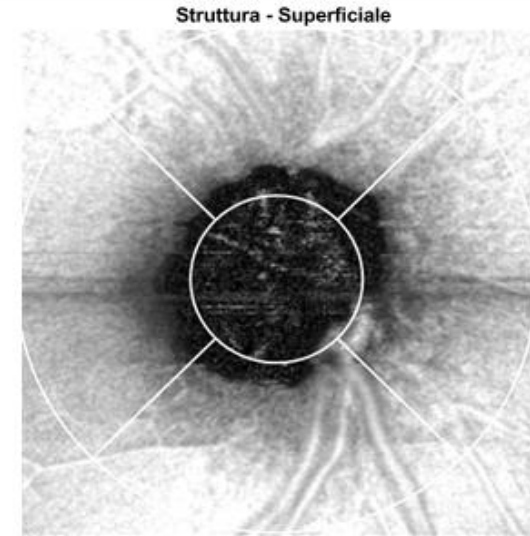
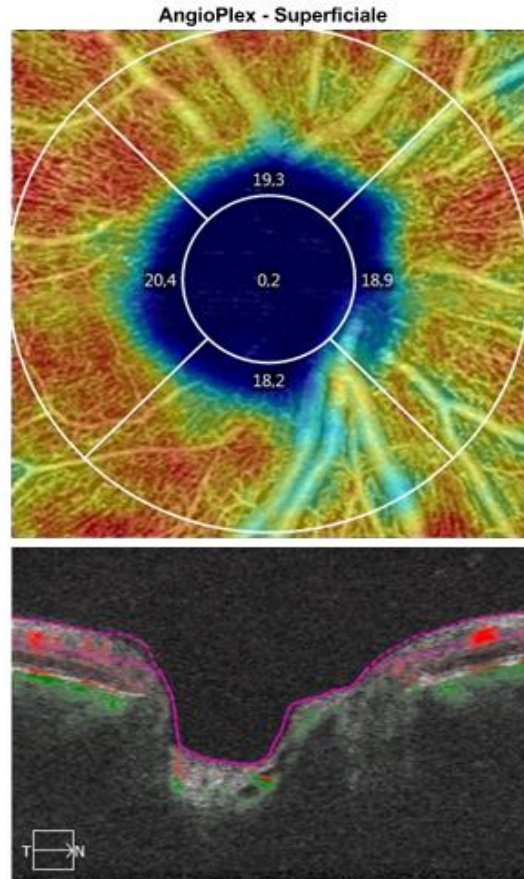
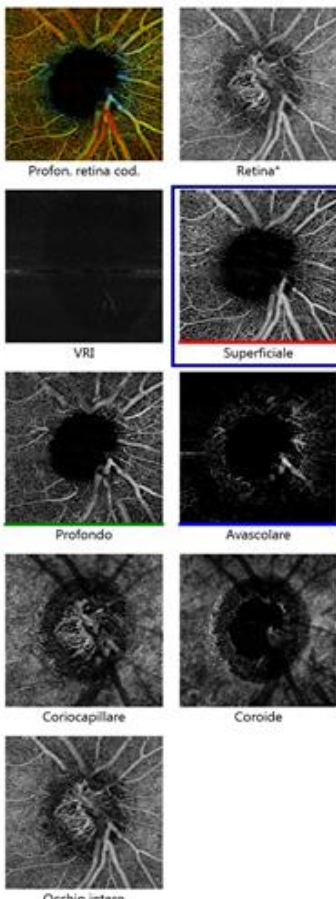
OD
Data esame: 20/02/2016
Ora dell'esame: 09:44
Numero di serie: 5000-6254
Intensità segnale: 9/10

Studio Oculistico A. Lucente



Analisi dell'angiografia : Angiography 3x3 mm

OD OS



Sovraposizioni
Struttura - Nessuno
AngioPlex - Vaso Mappa

AngioPlex Metric

ETDRS - Vaso

Regione	Densità
Centrale	0,2 mm ⁻¹
Interna	19,2 mm ⁻¹
Completo	17,1 mm ⁻¹

FAZ

Area	0,00 mm ²
Perimetro	0,14 mm
Circolarità	0,90

Monitorato durante la scansione

Commenti

Firma del medico

Analisi modificata: 09/04/2017 11:55

CIRRUS ANGIO
SW Ver: 10.0.0.14618
Copyright 2016
Carl Zeiss Meditec, Inc
All Rights Reserved
Pagina 1 di 1

Optic disc perfusion in glaucoma with optical microangiography OMAG by Chieh-Li Chen et al 2015

Table. Summary of mean flow intensity in different layers and groups.

Mean Flow Intensity		Mean	STD	P-value
Pre-Lamina	Normal (N=15)	0.29	0.03	0.024
	Glaucoma (N=25)	0.26	0.03	
Lamina Cribrosa	Normal (N=15)	0.17	0.02	0.788
	Glaucoma (N=25)	0.17	0.03	
Entire ONH	Normal (N=15)	0.30	0.03	0.022
	Glaucoma (N=25)	0.27	0.03	

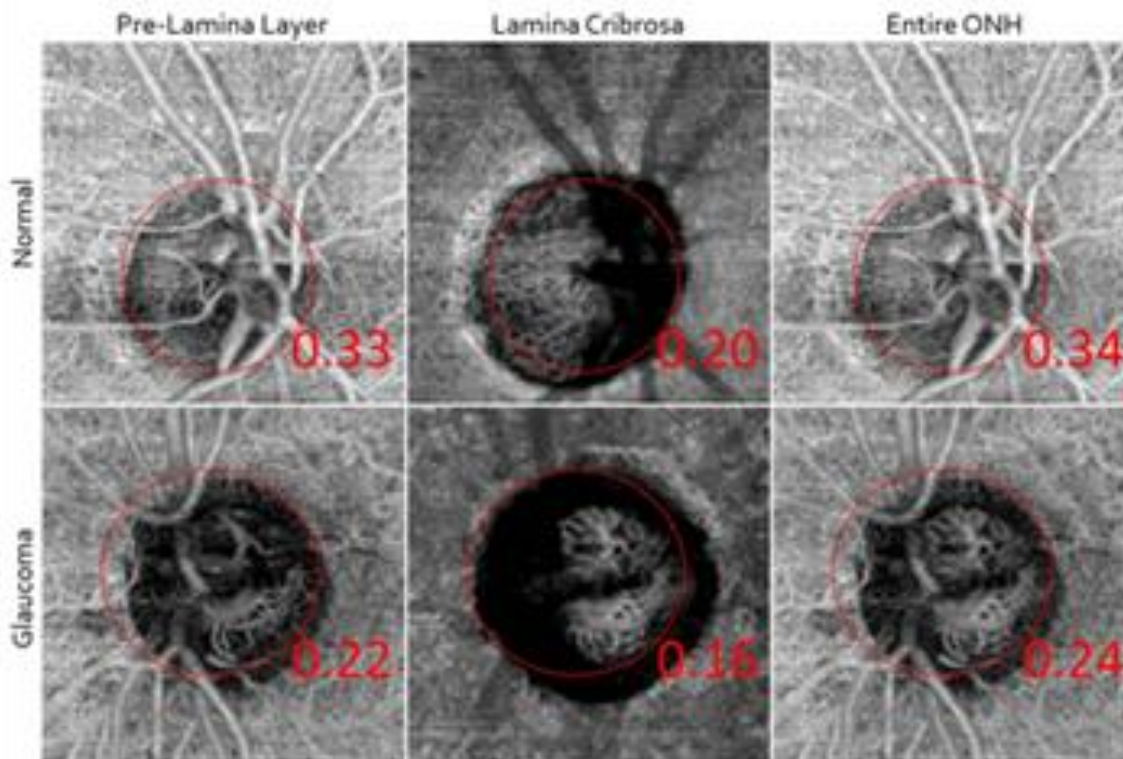
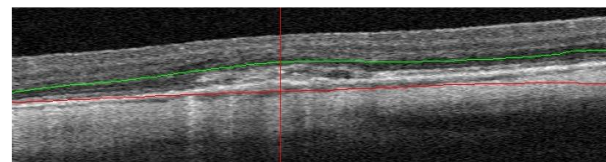
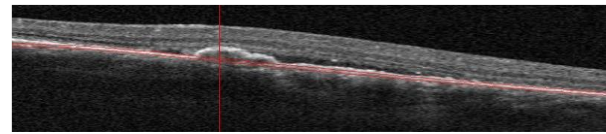
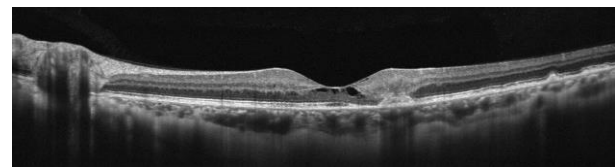
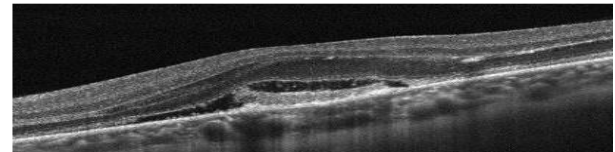
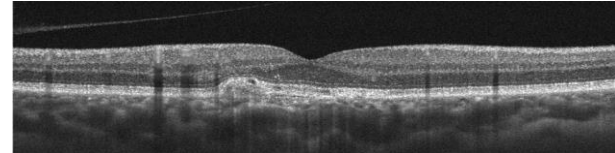


Figure. An example of mean flow intensity measurements between normal and glaucomatous eyes.

CNV Classification based on location

- Type 1: below RPE_(Jung and Freund AJO 2014)
- Type 2: above RPE
- Type 3: intraretinal
- Type 4: mixed 1-2
- Filamentous (pachychoroid) NVs
- Myopic CNVs
- Residual flow in fibrosis



Nome:



ID:
Data di nascita:
Sesso:
Tecnico:

CZMI1728205782

13/09/1945

Uomo
Angio, Cirrus

OS

Data esame:
Ora dell'esame:
Numero di serie:
Intensità segnale:

14/06/2017

09:20

5000-8254

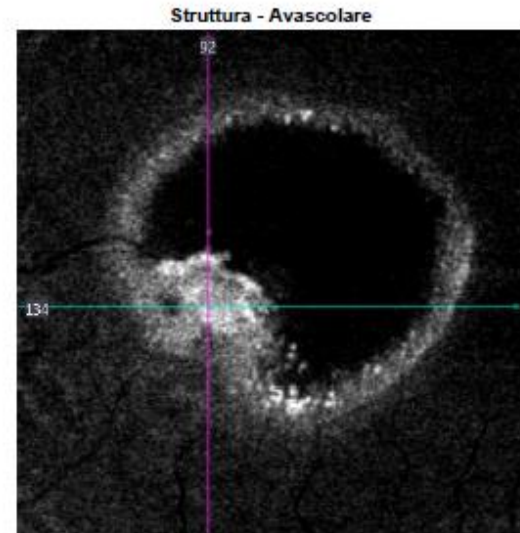
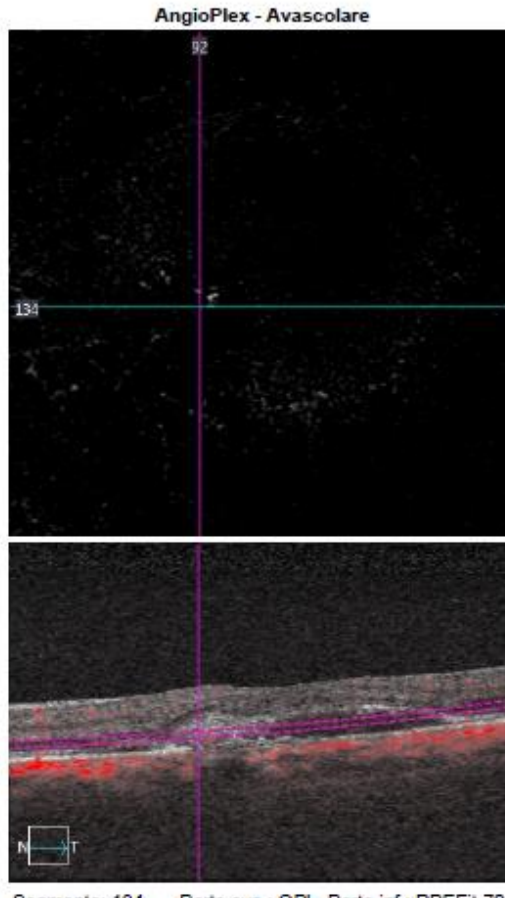
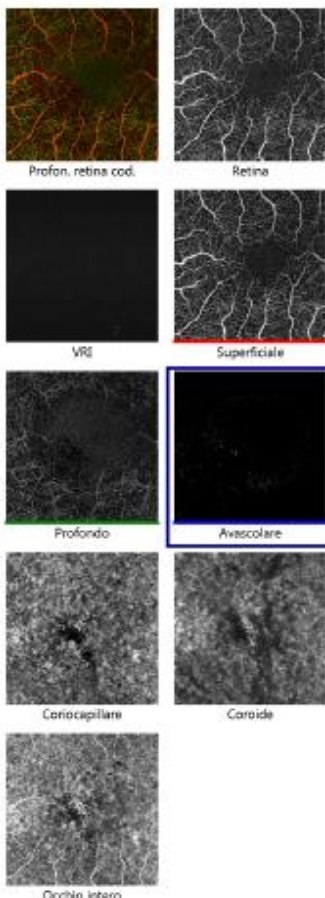
6/10

Studio Oculistico A. Lucente



Analisi dell'angiografia : Angiography 3x3 mm

OD OS



Monitorato durante la scansione

Commenti

Firma del medico

Analisi modificata: 14/06/2017 09:26

CIRRUS ANGIO
SW Ver: 10.0.0.14618
Copyright 2016
Carl Zeiss Meditec, Inc
All Rights Reserved
Pagina 1 di 1

Nome: XXXXXXXX
ID: CZMI1728205762
Data di nascita: 13/09/1945
Sesso: Uomo
Tecnico: Angelo Cirrus

05

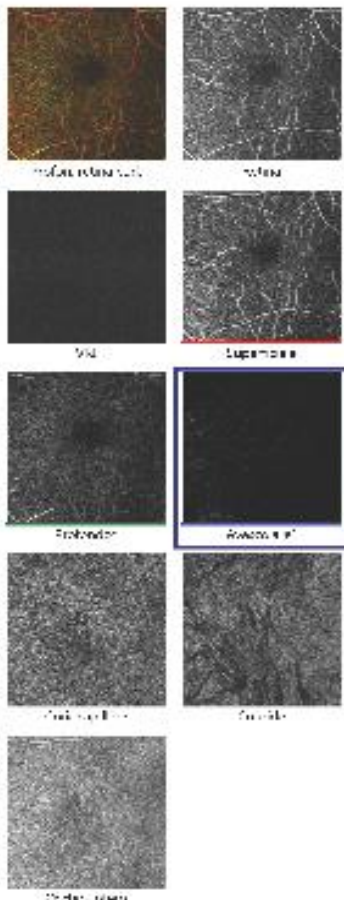
Studio Oculistico A. Lucente



ZEISS

Analisi dell'angiografia : Angiography 6x6 mm

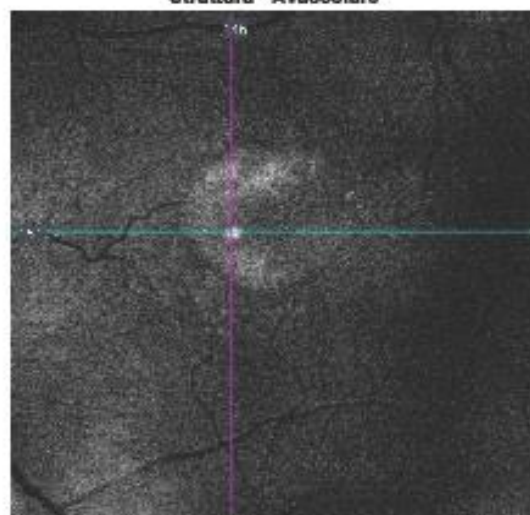
OD OS



AngioPlex - Avascolare

1-1

1



struttura - Avascolare

Sovrapposizioni
Struttura - Nessuno
AngloPlex - Nessuno

Segmento: 151 Parte sup.: OPL+6μ Parte inf.: RPEFl-64μ

Monitorato durante la scansione

Comments

Firma del medico

Analisi modifica: 22/11/2017 18:07

CIRRUS ANGIO
SW Ver: 10.0.0.14618
Copyright 2016
Carl Zeiss Meditec, Inc.
All Rights Reserved

Nome: XXXXXXXX
ID: 1947.0905.B18A.8419.B950.4
Data di nascita: 05/09/1947
Sesso: Unknown
Tecnico: Anglo, Cirrus

Data esame: 22/11/2017
Ora dell'esame: 08:32
Numero di serie: 5000-6254
Intensità segnale: 6/10



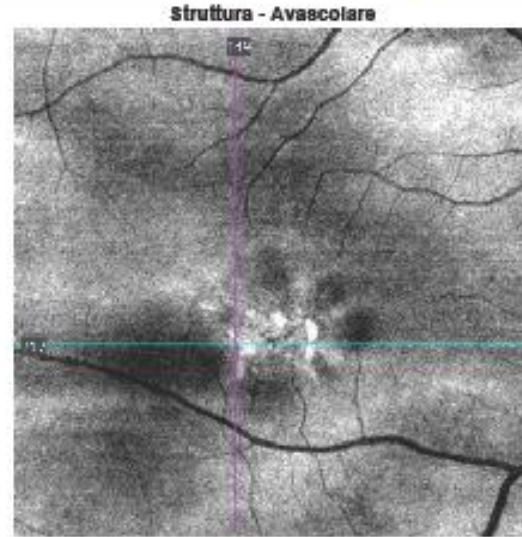
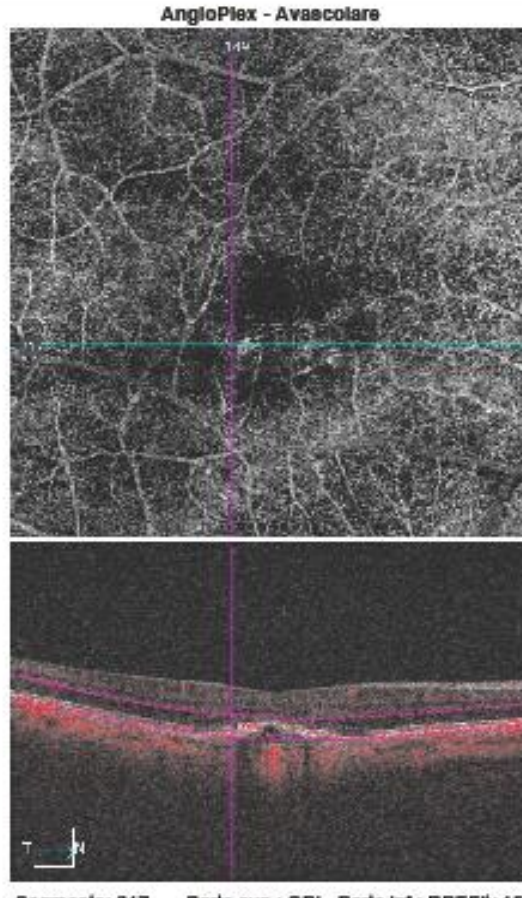
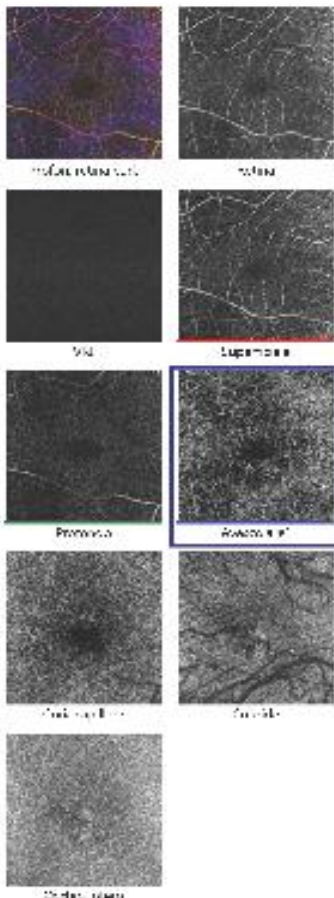
Studio Oculistico A. Lucente

OD

ZEISS

Analisi dell'angiografia : Angiography 6x6 mm

OD OS



Sovrappostioni
Struttura - Nessuno
AngioPlex - Nessuno

Segmento: 217 Parte sup.: OPL Parte inf.: RPEFit+16 μ

Monitorato durante la scansione

Commenti

Analisi modificata: 22/11/2017 08:39

Firma del medico

CIRRUS ANGIO
SW Ver: 10.0.0.14618
Copyright 2016
Carl Zeiss Meditec, Inc
All Rights Reserved
Pagina 1 di 1

Nome: **SAtre**
ID: 275554531
Data di nascita:
Sesso: Uomo
Tecnico: Angio, Cirrus

Precedente Corrente
Data esame: 21/04/2016 28/03/2017
Ora dell'esame: 11:25 09:20
Numero di serie: 5000-6254 5000-6254
Intensità segnale: 8/10 7/10

Studio Oculistico A. Lucente




Analisi angiografica della variazione : Angiography 6x6 mm

OD OS

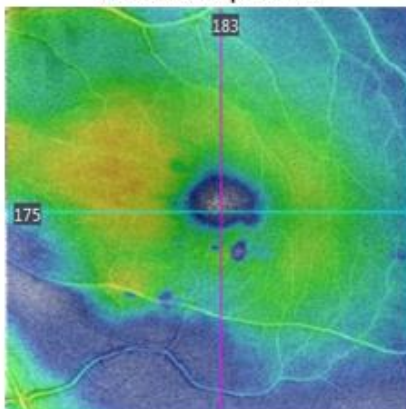
Esame 1 (scansione precedente)

21/04/2016 11:25:03

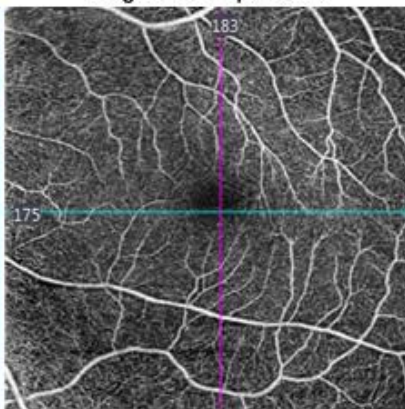
Segnale (8/10)



Struttura - Superficiale



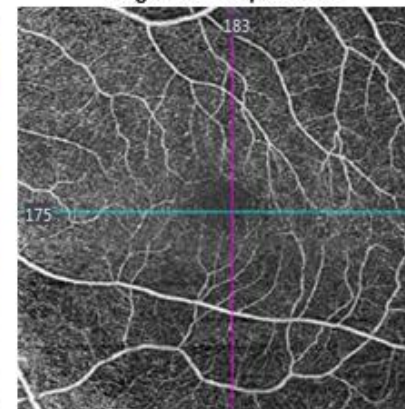
AngioPlex - Superficiale



Segnale (7/10)



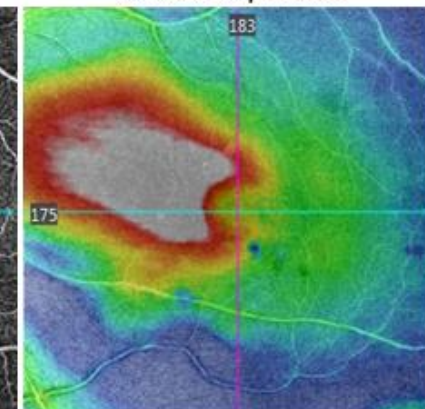
AngioPlex - Superficiale



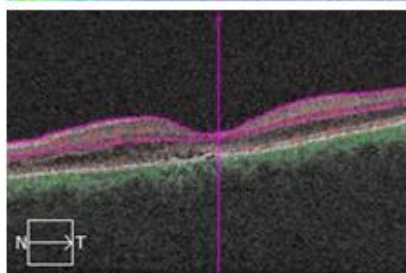
Esame 2 (scansione selezionata)

28/03/2017 09:20:28

Struttura - Superficiale



S
D
A



Parte sup.: ILM Parte inf.: IPL
Monitorato durante la scansione

Sovraposizioni
Struttura - Mappa dello spessore
AngioPlex - Nessuno

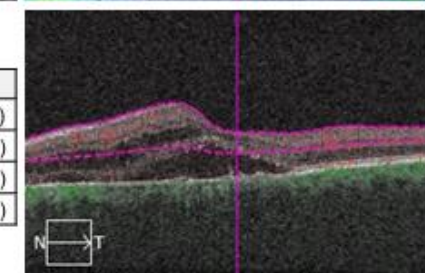
Angiometria

ETDRS - Vaso

Regione	Esame 1	Esame 2	Differenza
Centrale	5,8 mm ⁻¹	9,6 mm ⁻¹	3,8 mm ⁻¹ (66%)
Interna	16,7 mm ⁻¹	16,6 mm ⁻¹	-0,1 mm ⁻¹ (-1%)
Esterna	16,6 mm ⁻¹	15,7 mm ⁻¹	-0,9 mm ⁻¹ (-5%)
Completo	16,3 mm ⁻¹	15,7 mm ⁻¹	-0,6 mm ⁻¹ (-4%)

FAZ

	Esame 1	Esame 2	Differenza
Area	0,24 mm ²	0,35 mm ²	0,11 mm ² (46%)
Perimetro	2,02 mm	2,96 mm	0,94 mm (47%)
Circolarità	0,74	0,50	-0,24 (-32%)



Parte sup.: ILM Parte inf.: IPL
Monitorato durante la scansione
Modificato: 28/03/2017 09:27:48

Commenti

Firma del medico

Analisi modificata: 28/03/2017 09:27

CIRRUS ANGIO
SW Ver: 10.0.0.14618
Copyright 2016
Carl Zeiss Meditec, Inc
All Rights Reserved
Pagina 1 di 1

Nome: SA
ID: 275554531
Data di nascita:
Sesso: Uomo
Tecnico: Angio, Cirrus

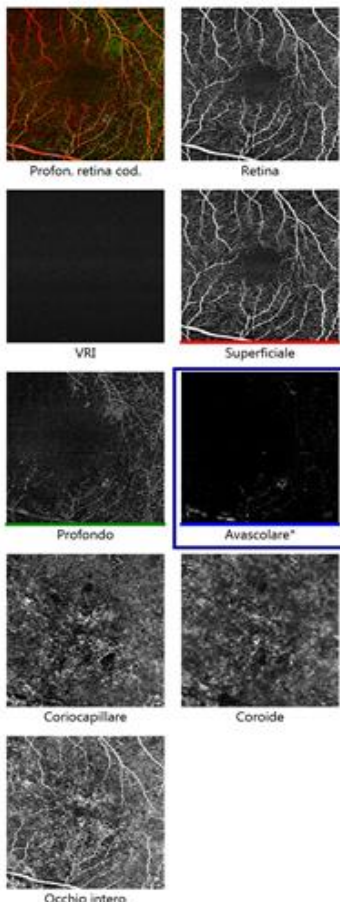
OS
Data esame: 28/03/2017
Ora dell'esame: 09:19
Numero di serie: 5000-6254
Intensità segnale: 6/10

Studio Oculistico A. Lucente

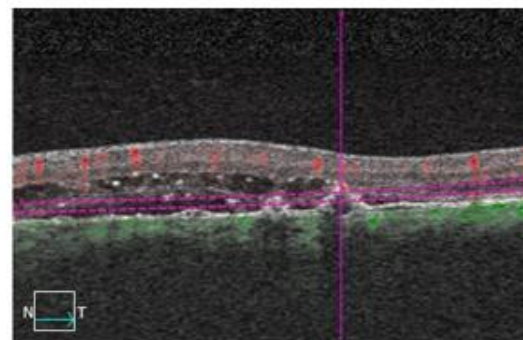
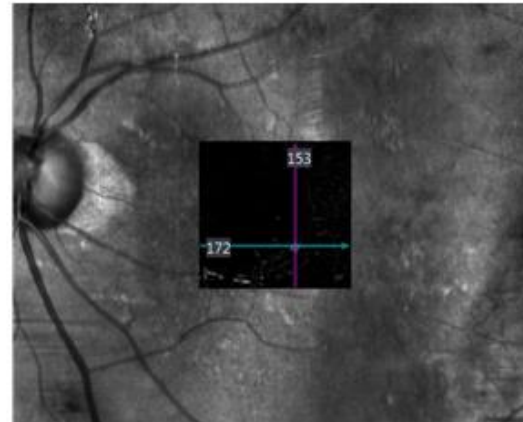



Analisi dell'angiografia : Angiography 3x3 mm

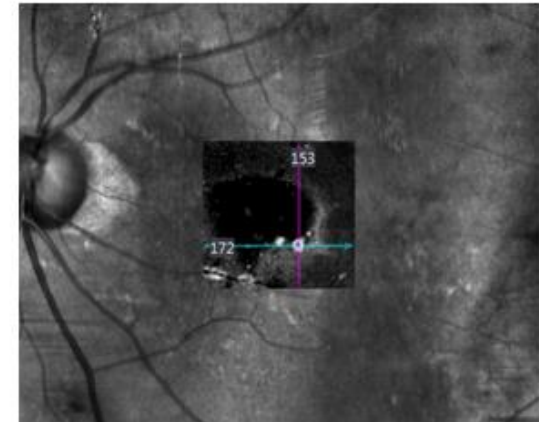
OD OS



AngioPlex - Avascolare



Struttura - Avascolare



Sovraposizioni
Struttura - Nessuno
AngioPlex - Nessuno

Monitorato durante la scansione

Commenti

Analisi modificata: 28/03/2017 09:26

Firma del medico

CIRRUS ANGIO
SW Ver: 10.0.0.14618
Copyright 2016
Carl Zeiss Meditec, Inc
All Rights Reserved
Pagina 1 di 1

Nome: MBdue
ID: 634456147
Data di nascita:
Sesso: Uomo
Tecnico: Angio, Cirrus

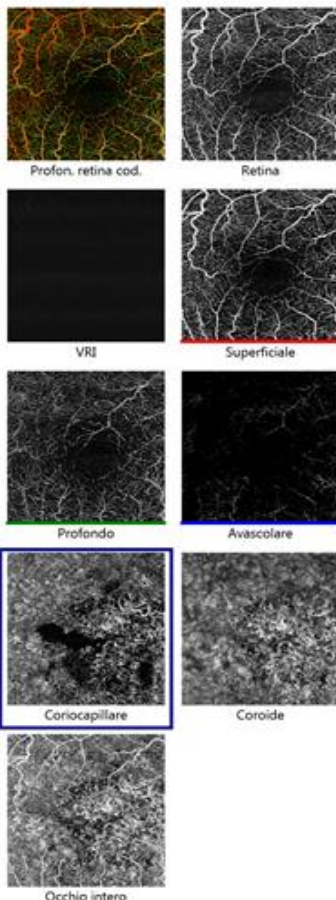
OD
Data esame: 16/01/2017
Ora dell'esame: 12:01
Numero di serie: 5000-6254
Intensità segnale: 9/10

Studio Oculistico A. Lucente

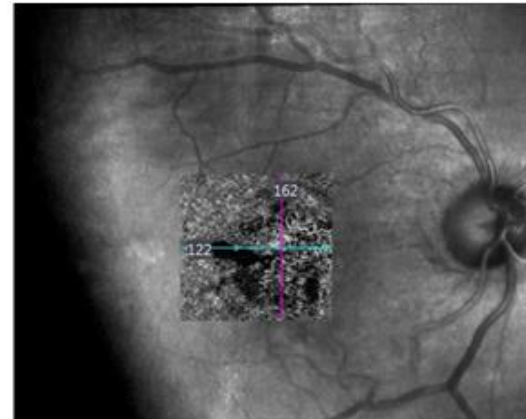


OD OS

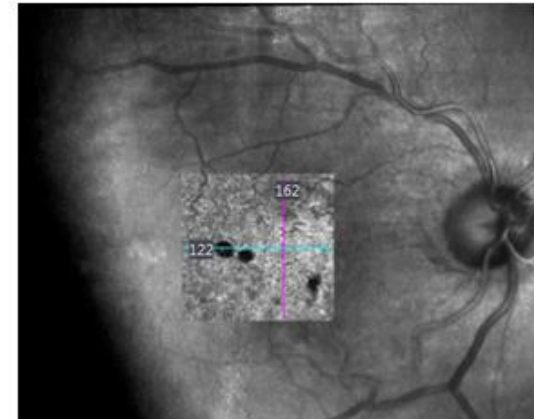
Analisi dell'angiografia : Angiography 3x3 mm



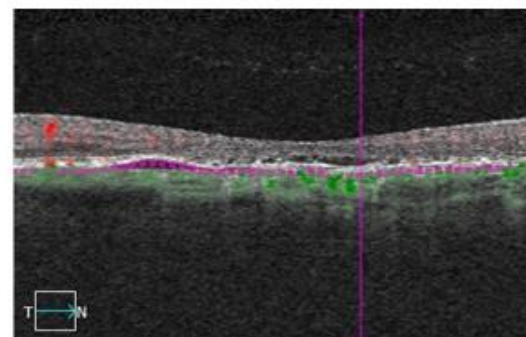
AngioPlex - Coriocapillare



Struttura - Coriocapillare



Sovraposizioni
Struttura - Nessuno
AngioPlex - Nessuno



Segmento: 122 Parte sup.: RPE+29 μ Parte inf.: RPE+49 μ

Monitorato durante la scansione

Commenti

Firma del medico

CIRRUS ANGIO
SW Ver: 10.0.0.14618
Copyright 2016
Carl Zeiss Meditec, Inc
All Rights Reserved
Pagina 1 di 1

Nome: MB
ID: 634456147
Data di nascita:
Sesso: Uomo
Tecnico: Angio, Cirrus

Data esame: 16/03/2017
Ora dell'esame: 09:57
Numero di serie: 5000-6254
Intensità segnale: 6/10

Precedente 16/03/2017 20/04/2017
Corrente 09:57 16:32
5000-6254 5000-6254
6/10 7/10

Studio Oculistico A. Lucente




OD OS

Analisi angiografica della variazione : Angiography 3x3 mm

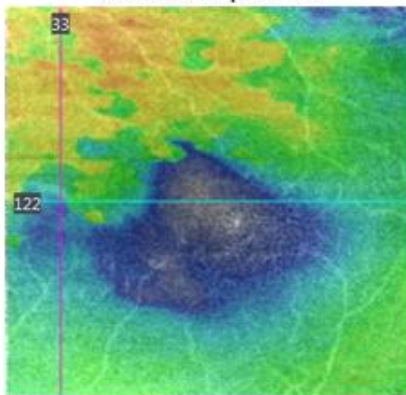
Esame 1 (scansione precedente)

16/03/2017 09:57:55

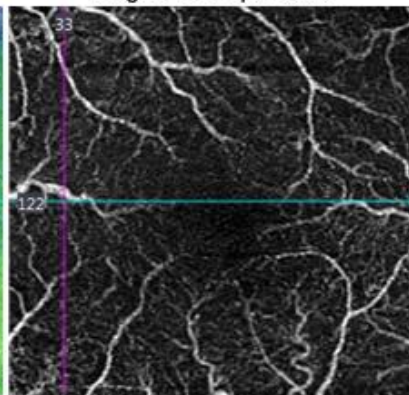
Segnale (6/10)



Struttura - Superficiale



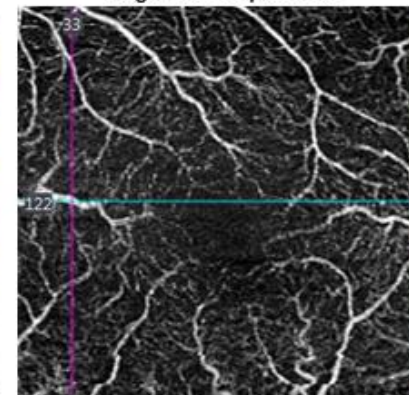
AngioPlex - Superficiale



Segnale (7/10)



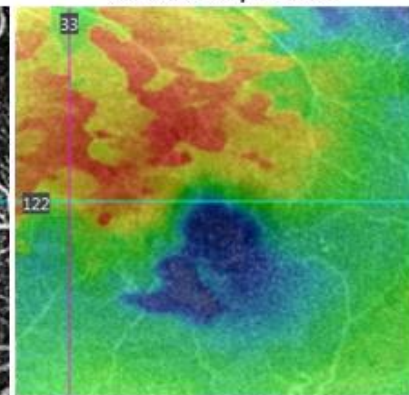
AngioPlex - Superficiale



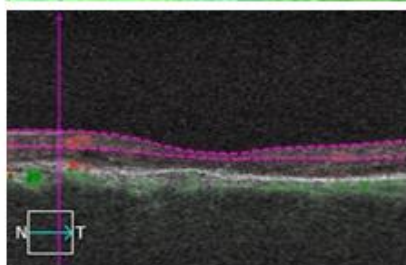
Esame 2 (scansione selezionata)

20/04/2017 16:32:24

Struttura - Superficiale



S
D
A

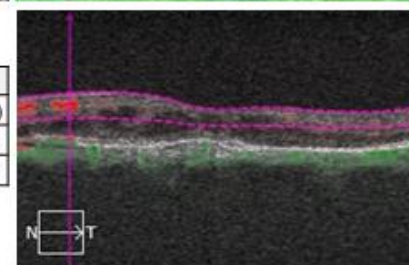


Sovraposizioni
Struttura - Mappa dello spessore
AngioPlex - Nessuno

Regione	Esame 1	Esame 2	Differenza
Centrale	2,4 mm ⁻¹	5,1 mm ⁻¹	2,7 mm ⁻¹ (113%)
Interna	10,8 mm ⁻¹	13,1 mm ⁻¹	2,3 mm ⁻¹ (21%)
Completo	9,9 mm ⁻¹	12,2 mm ⁻¹	2,3 mm ⁻¹ (23%)

FAZ

	Esame 1	Esame 2	Differenza
Area	-	0,05 mm ²	-
Perimetro	-	1,01 mm	-
Circolarità	-	0,59	-



Parte sup.: ILM Parte inf.: IPL
Monitorato durante la scansione

Commenti

Firma del medico

CIRRUS ANGIO
SW Ver: 10.0.0.14618
Copyright 2016
Carl Zeiss Meditec, Inc
All Rights Reserved
Pagina 1 di 1

Nome: FA
 ID: CZMI1545286560
 Data di nascita:
 Sesso: Unknown
 Tecnico: Angio, Cirrus

Precedente Corrente
 Data esame: 08/06/2016
 Ora dell'esame: 09:22
 Numero di serie: 5000-6254
 Intensità segnale: 8/10

Studio Oculistico A. Lucente



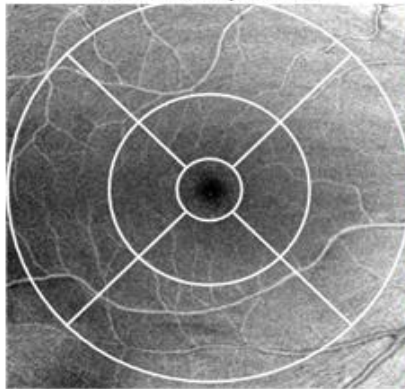
Analisi angiografica della variazione : Angiography 6x6 mm

OD OS

Esame 1 (scansione precedente)

08/06/2016 09:22:45

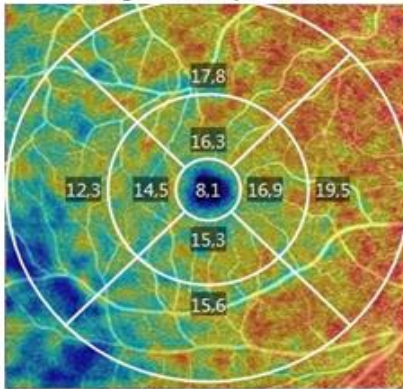
Struttura - Superficiale



Segnale (8/10)



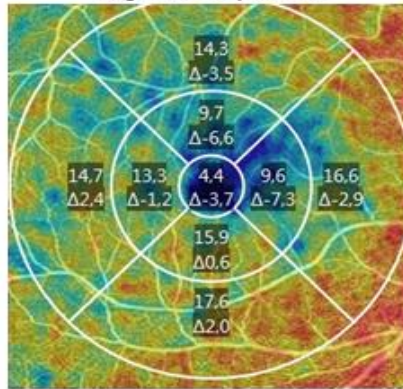
AngioPlex - Superficiale



Segnale (8/10)



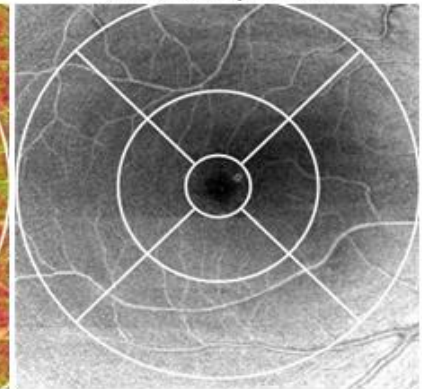
AngioPlex - Superficiale



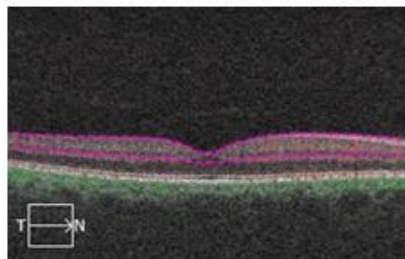
Esame 2 (scansione selezionata)

26/04/2017 16:06:15

Struttura - Superficiale



S
D
A



Sovrapposizioni
 Struttura - Nessuno
 AngioPlex - Vaso Mappa

Parte sup.: ILM Parte inf.: IPL
 Monitorato durante la scansione

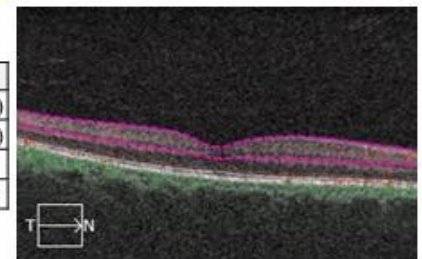
Angiometria

ETDRS - Vaso

Regione	Esame 1	Esame 2	Differenza
Centrale	8,1 mm ⁻¹	4,4 mm ⁻¹	-3,7 mm ⁻¹ (-46%)
Interna	15,8 mm ⁻¹	12,1 mm ⁻¹	-3,7 mm ⁻¹ (-23%)
Esterna	16,3 mm ⁻¹	15,8 mm ⁻¹	-0,5 mm ⁻¹ (-3%)
Completo	16,0 mm ⁻¹	14,7 mm ⁻¹	-1,3 mm ⁻¹ (-8%)

FAZ

	Esame 1	Esame 2	Differenza
Area	0,21 mm ²	0,40 mm ²	0,19 mm ² (90%)
Perimetro	2,02 mm	3,60 mm	1,58 mm (78%)
Circolarità	0,66	0,39	-0,27 (-41%)



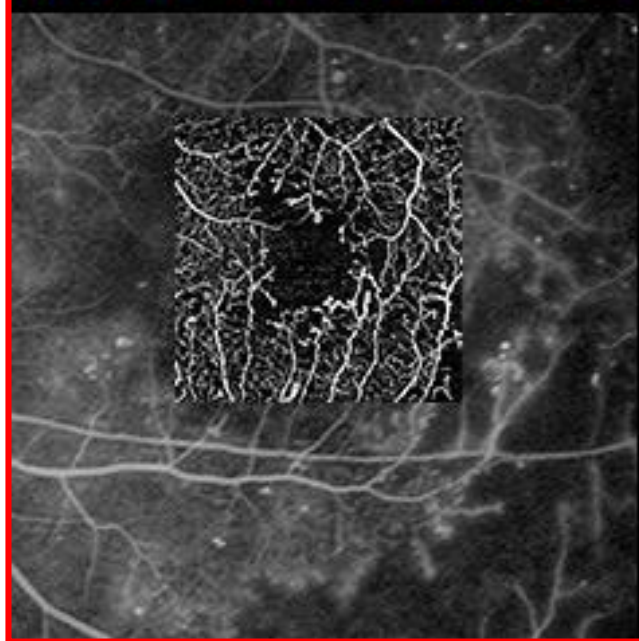
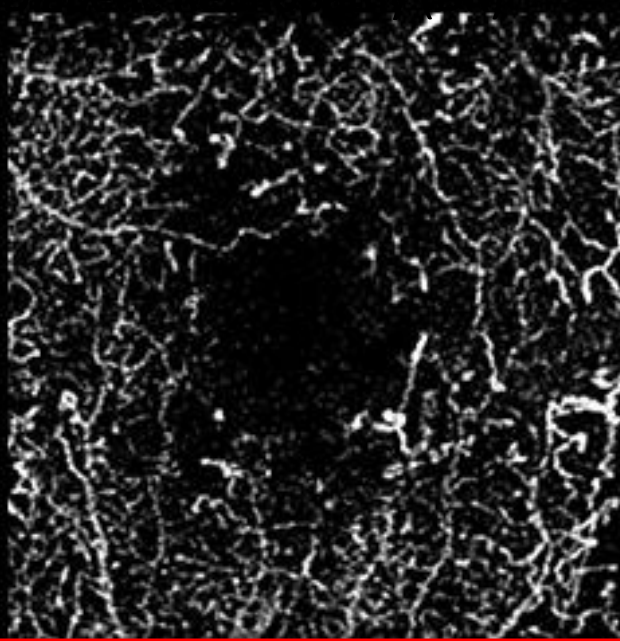
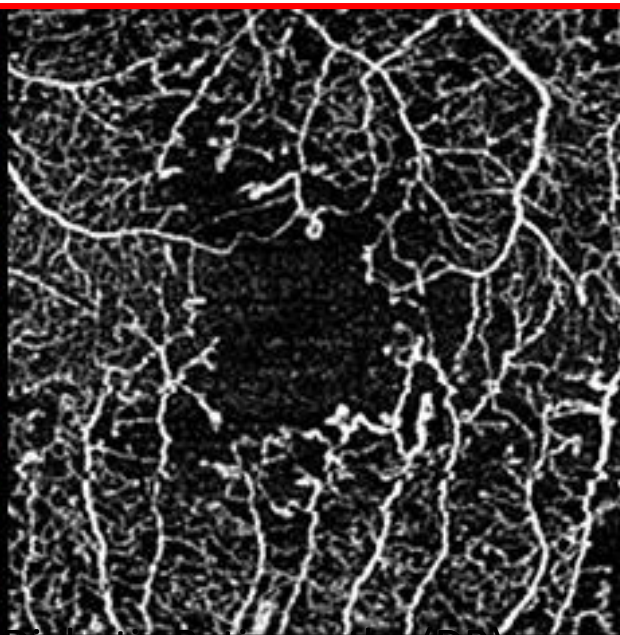
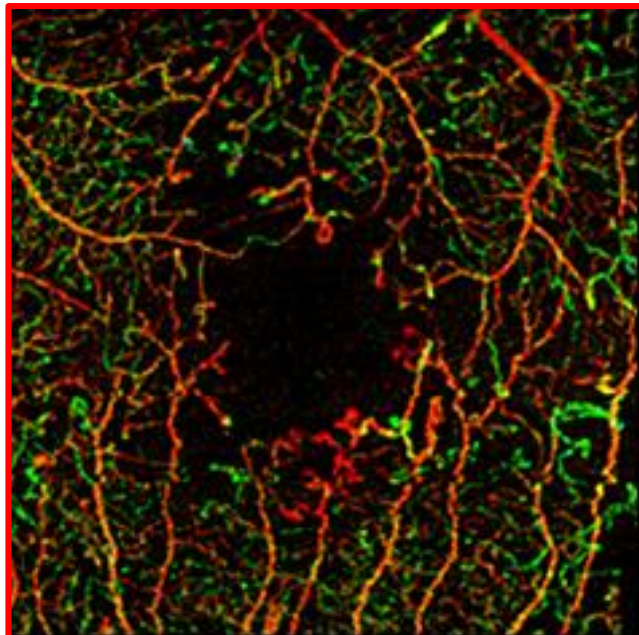
Parte sup.: ILM Parte inf.: IPL
 Monitorato durante la scansione

Commenti

Firma del medico

CIRRUS ANGIO
 SW Ver: 10.0.0.14618
 Copyright 2016
 Carl Zeiss Meditec, Inc
 All Rights Reserved
 Pagina 1 di 1

Diabetic Retinopathy (DR)



Full depth color
encoded image

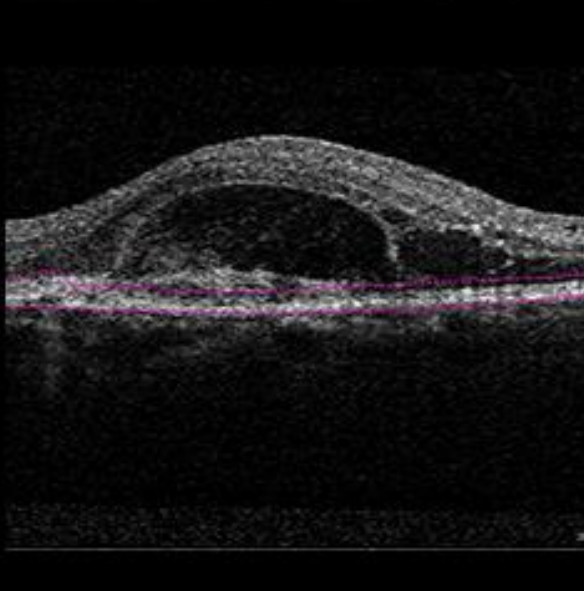
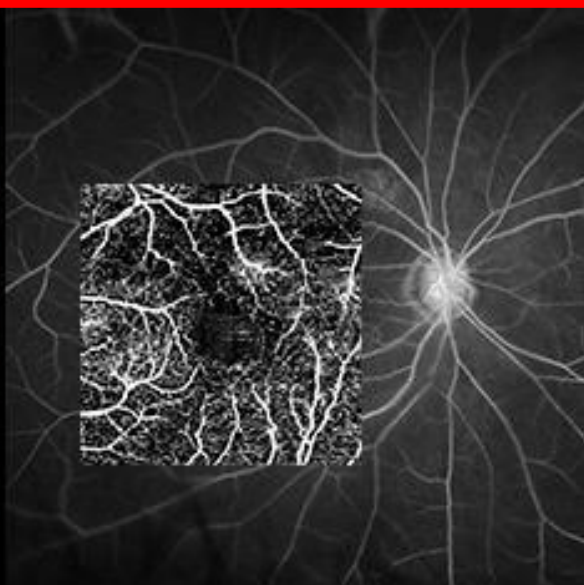
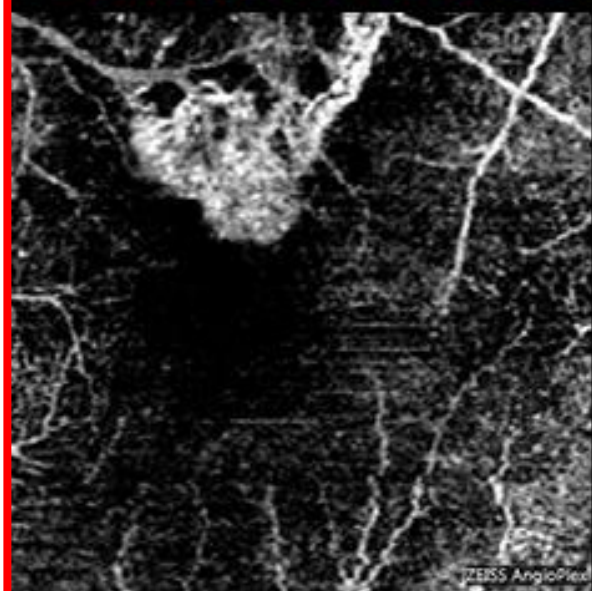
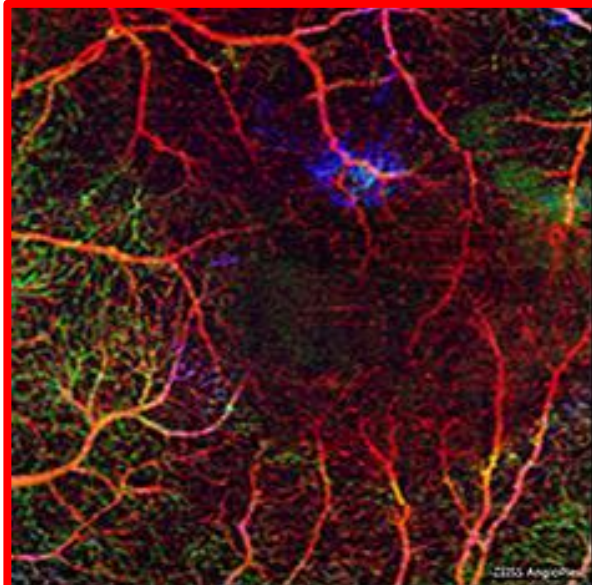
Superficial Retinal
Layer

Deep Retinal
Layer

Superficial layer
overlaid onto FA

Clockwise from top left

Choroidal Neovascularization (CNV)



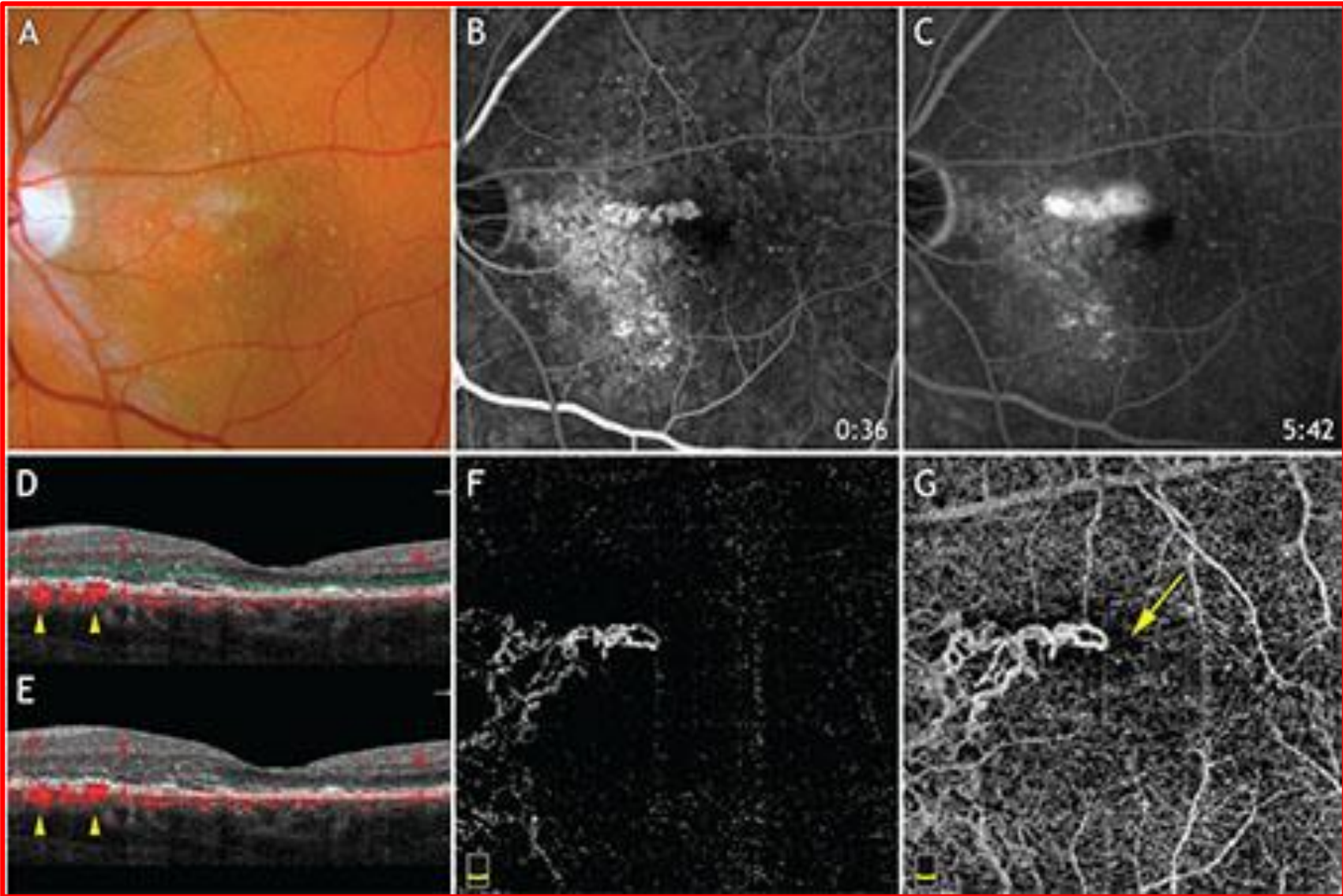
Full depth color
encoded image

Superficial Retinal
Layer overlaid onto FA

B-Scan

Custom layer revealing
CNV below the RPE

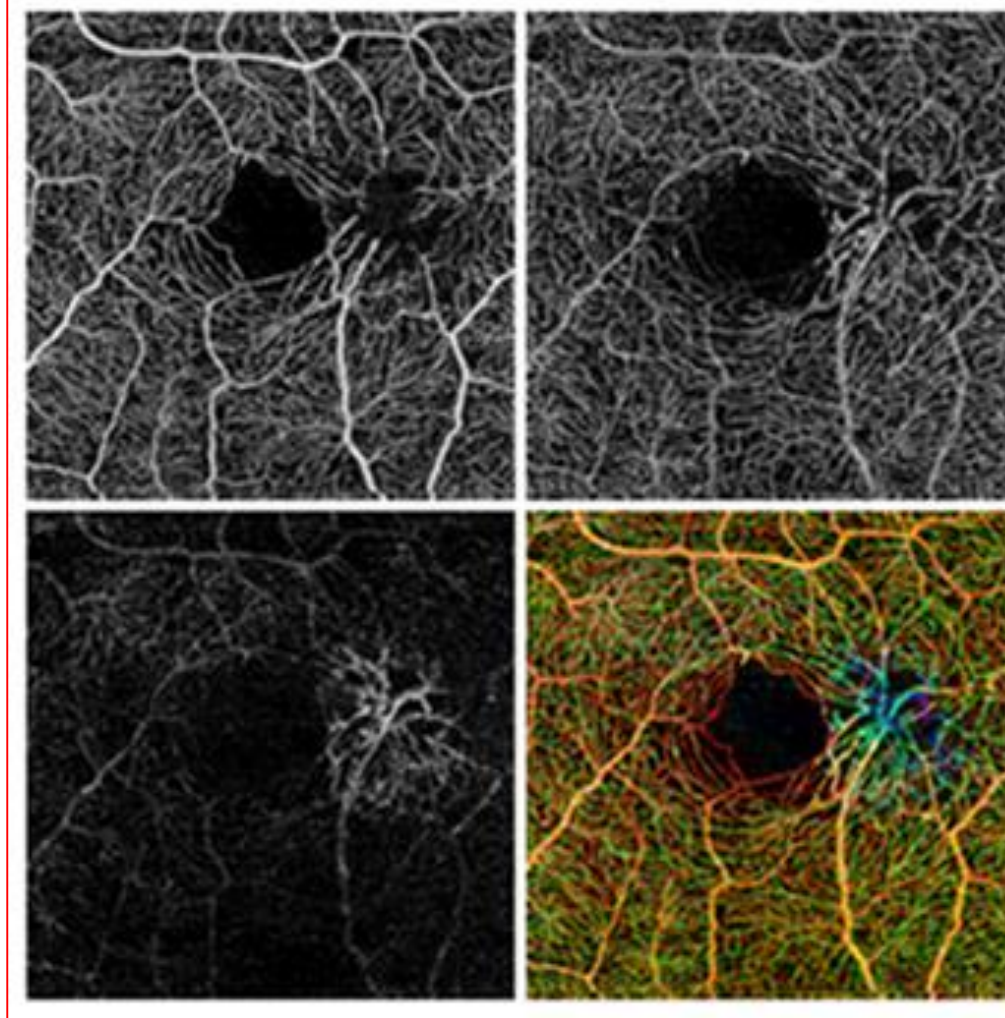
Clockwise from top left



Multimodal imaging of a 63-year-old patient with **choroidal neovascularization secondary to central serous chorioretinopathy**. (A) Color photograph shows a subretinal hemorrhage at the center of the macula surrounded by retinal pigment epithelium clumps. Early (B) and late-phase (C) fluorescein angiography show leakage from CNV. (D) and (E) represent corresponding OCT B-scan segmentation of the outer retinal and choriocapillaris, respectively. Yellow arrowheads point to the decorrelation signal below the RPE detachment suggestive of CNV. (F) OCT angiogram segmented at the level of the outer retina reveals CNV. (G) OCT angiogram segmented at the level of the choriocapillaris. The yellow arrow highlights the hypo-intense halo surrounding the CNV

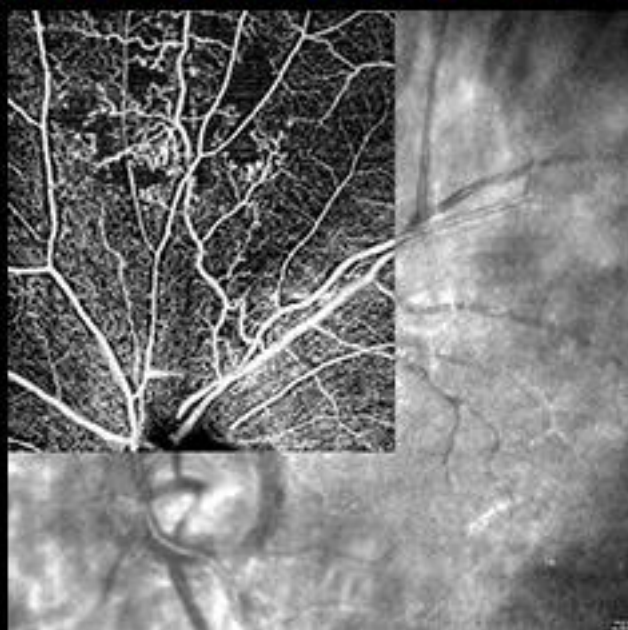
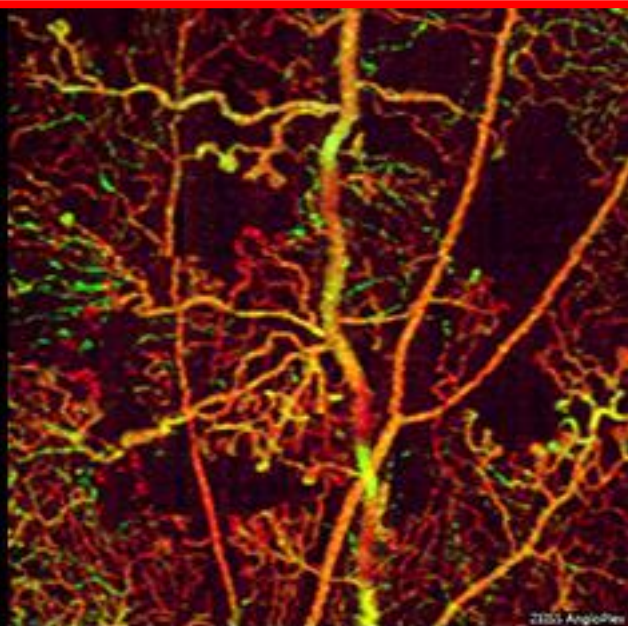
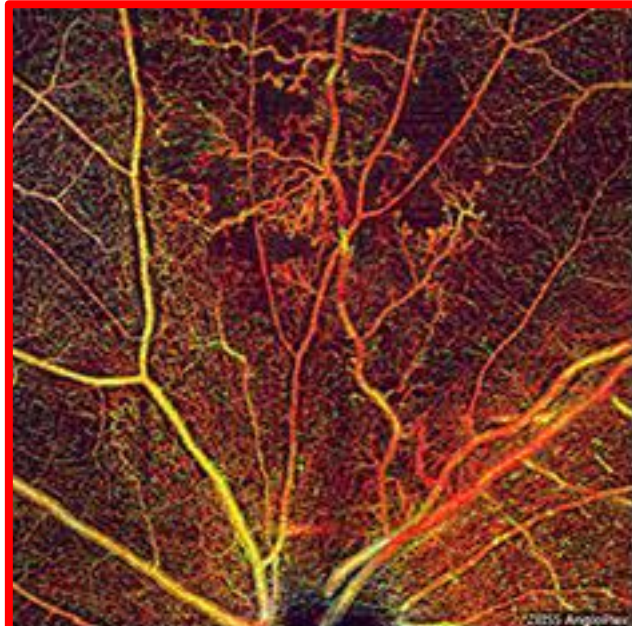
Macular Telangiectasia

S
D
A



This OCT angiogram shows the left eye of a 69- year-old patient with **macular telangiectasia**. The patient has classic findings of **microvascular changes** in the **temporal macula** that appear in all three layers of the OCT angiogram (color code: red: inner retina; green: mid retina; blue: outer retina). The top left panel shows the OCTA of the inner retina. Milder changes are noted in the mid-retinal layer (top right panel). In addition, retinal vessels are noted in the outer retina (bottom left panel), where there are usually no vessels.

Branch Retinal Vein Occlusion (BRVO)



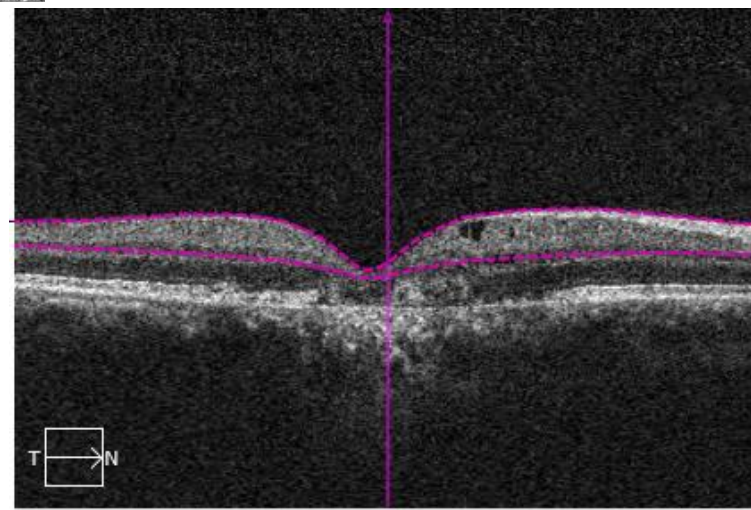
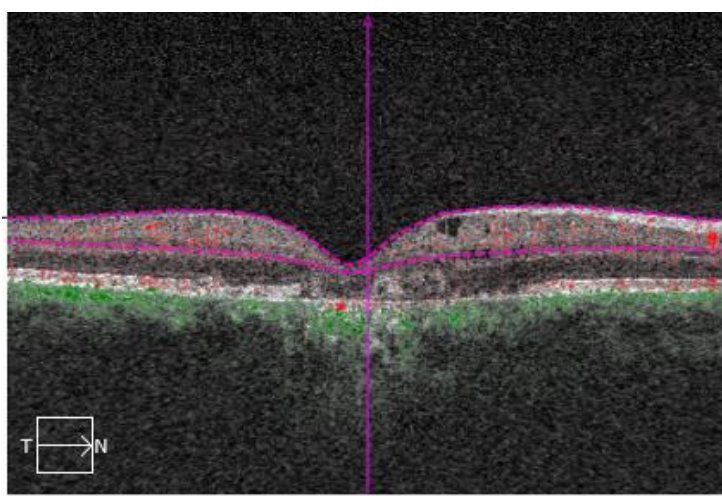
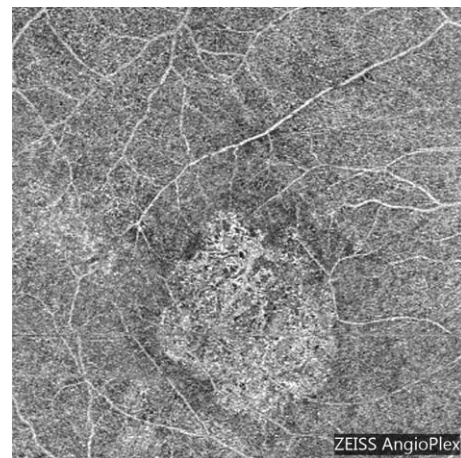
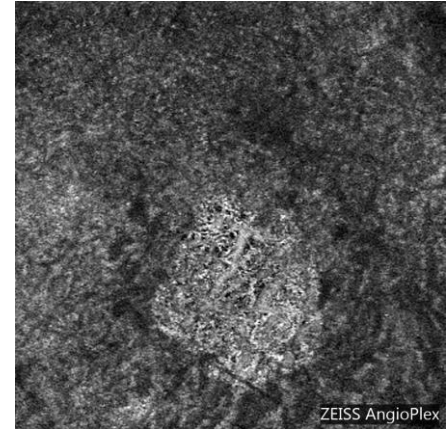
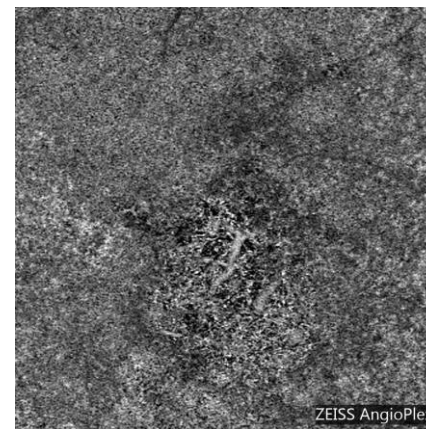
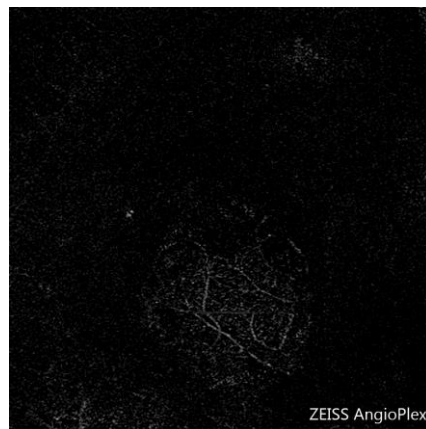
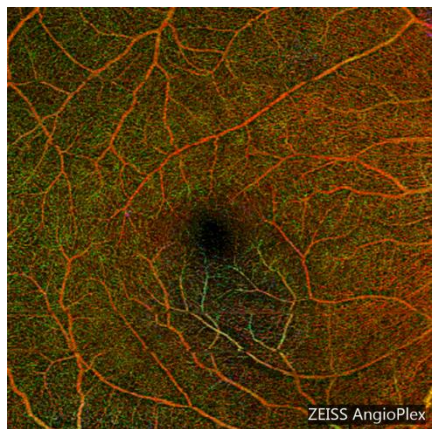
Full depth color encoded image, *6x6mm image*

Full depth color encoded image, *3x3mm image*

Superficial retina layer overlaid onto LSO Fundus image

Superficial retina Layer

Clockwise from top left



Nome:

ID: 117361906
 Data di nascita: 25/05/1951
 Sesso: Donna
 Tecnico: Angio, Cirrus

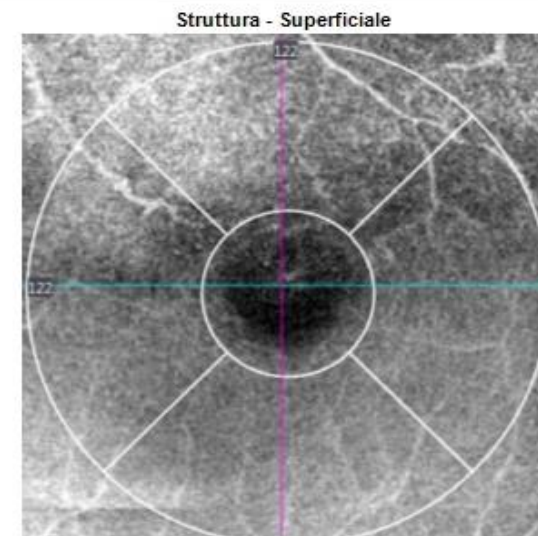
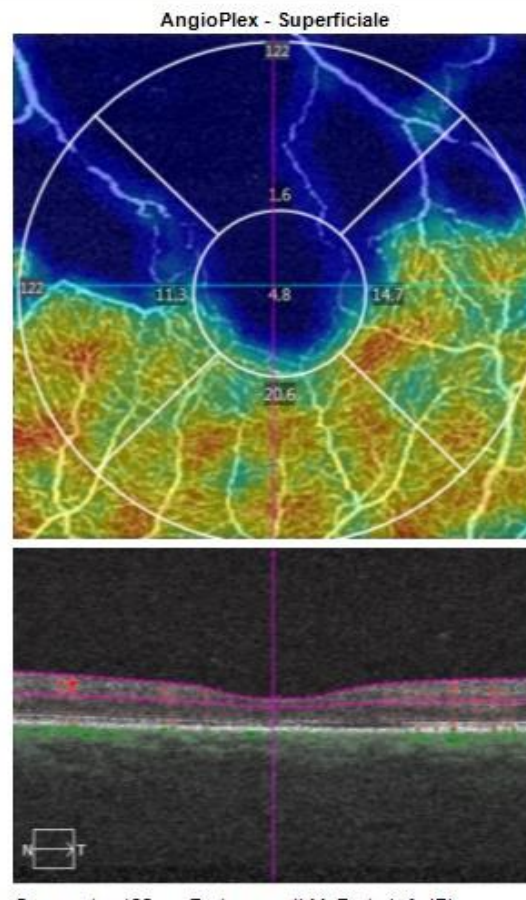
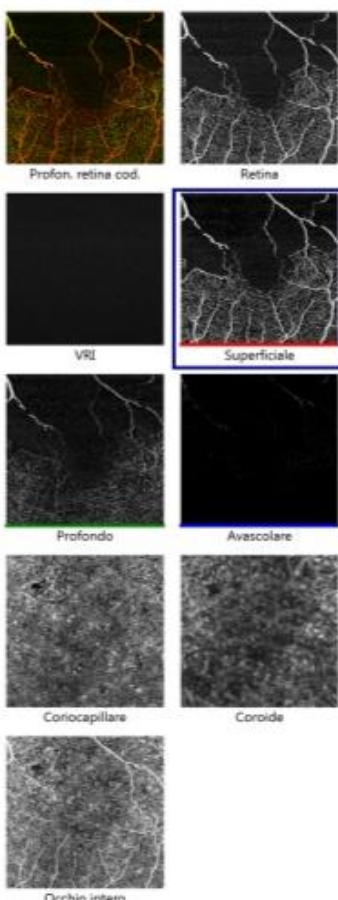
OS

Data esame: 05/07/2016
 Ora dell'esame: 11:07
 Numero di serie: 5000-6254
 Intensità segnale: 9/10

Studio Oculistico A. Lucente



Analisi dell'angiografia : Angiography 3x3 mm

OD OS 

Sovraposizioni
Struttura - Nessuno
AngioPlex - Vaso Mappa

AngioPlex Metric
ETDRS - Vaso

Regione	Densità
Centrale	4,8 mm ⁻¹
Interna	12,0 mm ⁻¹
Completo	11,2 mm ⁻¹

FAZ	Area
Perimetro	-
Circolarità	-

Monitorato durante la scansione

Commenti:

Firma del medico

CIRRUS ANGIO
 SW Ver: 10.0.0.14618
 Copyright 2016
 Carl Zeiss Meditec, Inc
 All Rights Reserved
 Pagina 1 di 1

Nome: CR
ID: 2099419900
Data di nascita:
Sesso: Donna
Tecnico: Angio, Cirrus

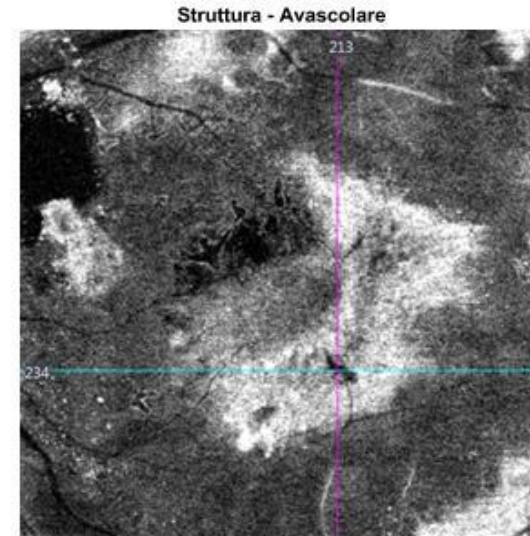
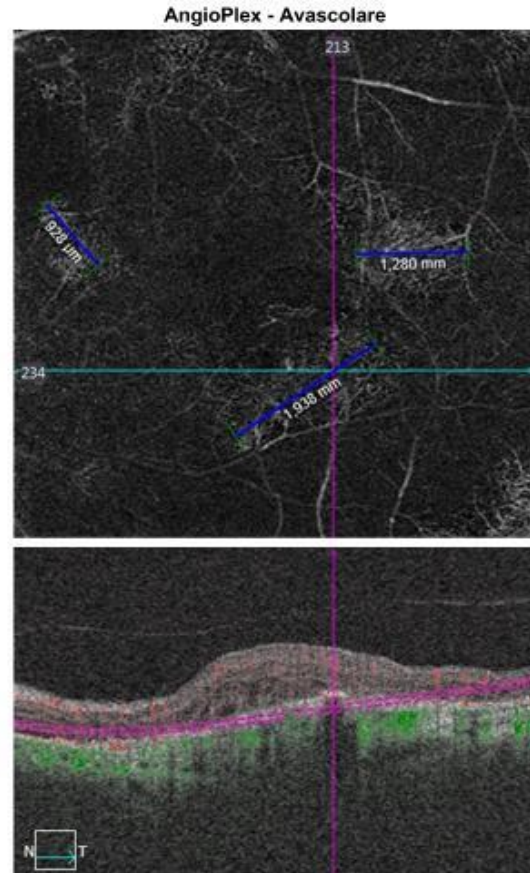
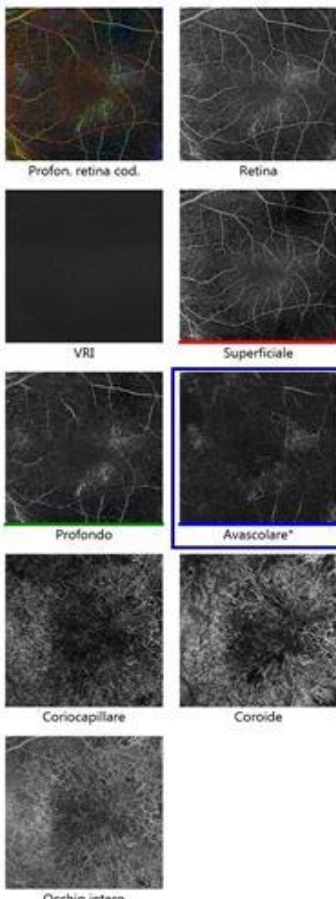
Data esame: 19/09/2016
Ora dell'esame: 16:22
Numero di serie: 5000-6254
Intensità segnale: 7/10

Studio Oculistico A. Lucente



Analisi dell'angiografia : Angiography 6x6 mm

OD OS



Monitorato durante la scansione

Commenti

Analisi modificata: 09/05/2017 16:47

Firma del medico

CIRRUS ANGIO
SW Ver: 10.0.0.14618
Copyright 2016
Carl Zeiss Meditec, Inc
All Rights Reserved
Pagina 1 di 1

Nome:

XXXXXX

ID:

58164783

Data di nascita:

23/12/1943

Sesso:

Uomo

Tecnico:

Angio, Cirrus

OD

Studio Oculistico A. Lucente



Data esame:

15/11/2017

Ora dell'esame:

10:28

Numero di serie:

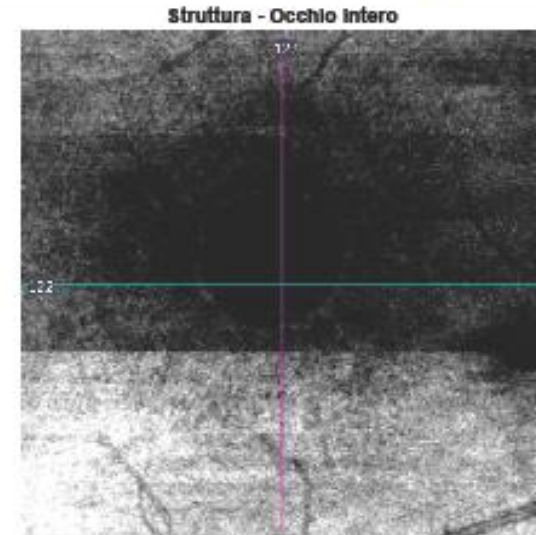
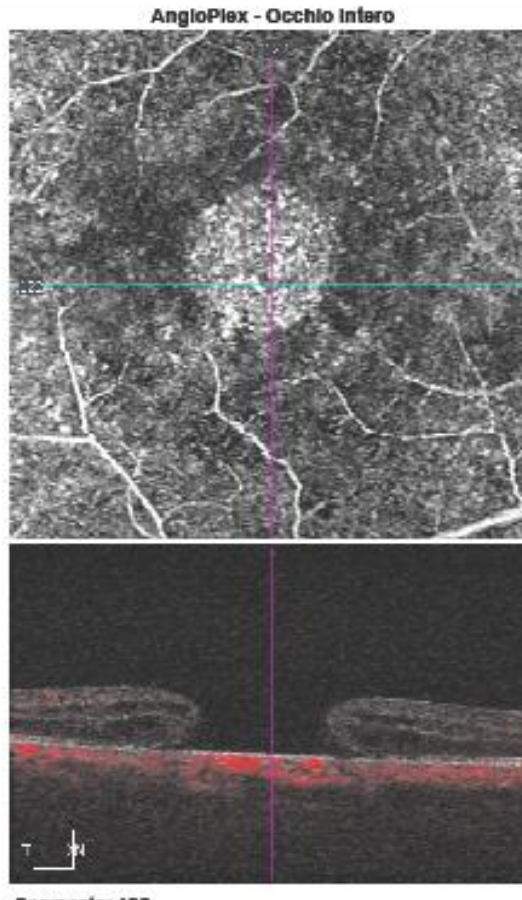
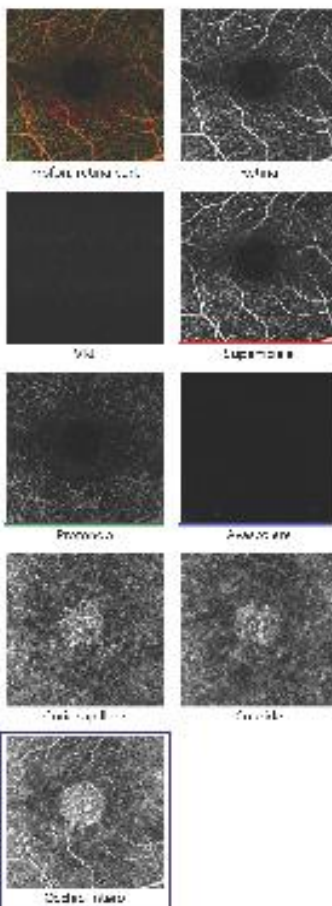
5000-6254

Intensità segnale:

6/10

Analisi dell'angiografia : Angiography 3x3 mm

OD OS



Sovraposizioni
Struttura - Nessuno
AngioPlex - Nessuno

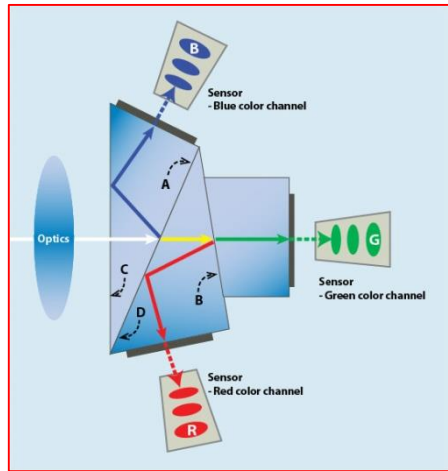
Monitorato durante la scansione

Commenti

Firma del medico

CIRRUS ANGIO
SW Ver: 10.0.0.14618
Copyright 2016
Carl Zeiss Meditec, Inc
All Rights Reserved
Pagina 1 di 1

A complete suite of imaging modalities

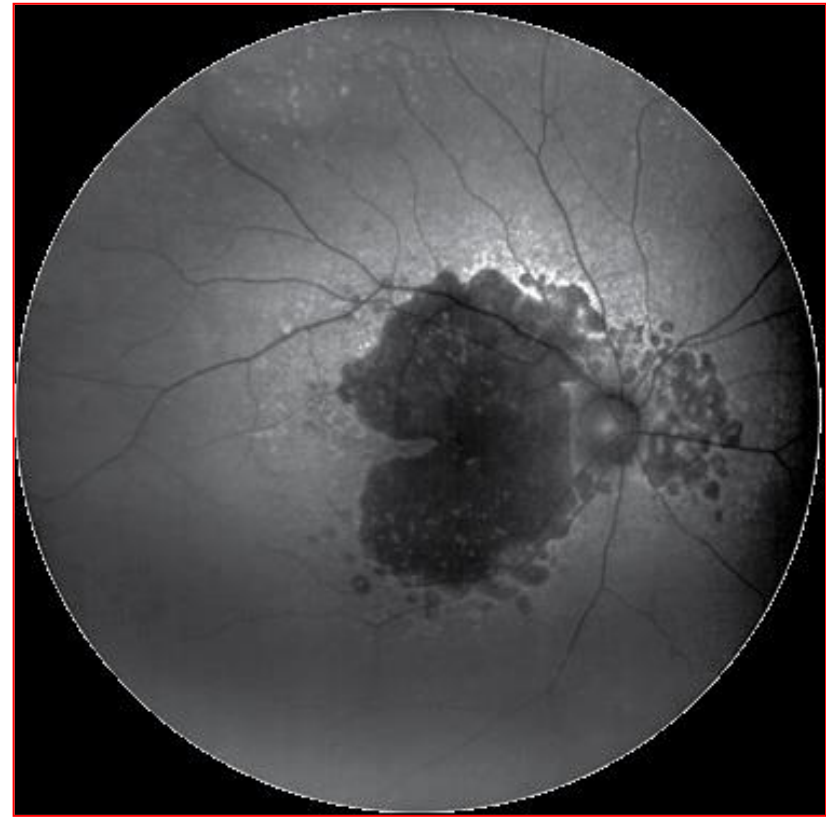


ZEISS CLARUS 500 Imaging ultra-wide without compromise.

Fundus autofluorescence



FAF-Green image of dry age-related macular degeneration



FAF-Blue image of geographic atrophy

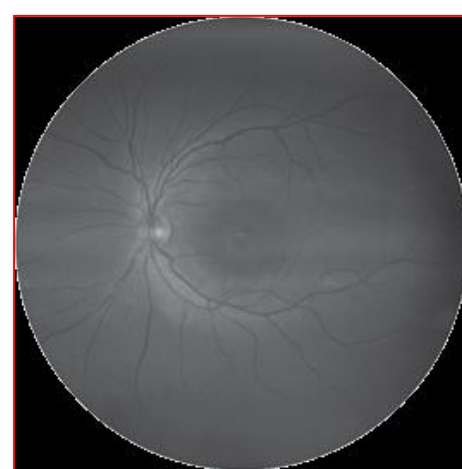
- **Red channel images** reveal the choroid in more detail. This may be helpful in visualizing **choroidal lesions** such as nevi or tumors.
- **Green channel images** provide excellent contrast of the retina, especially of **vasculature and hemorrhages**.
- **Blue channel images** increase visibility of the **anterior retinal layers**, allowing easier visualization of retinal nerve fiber layer (RNFL) defects and epiretinal membranes.
- **Infrared images** have the unique property of **increased penetration** through tissue, providing improved visualization of **choroidal structures**.



Red channel



Green channel



Blue channel



Infrared images



Studio Oculistico
dott. Amedeo Luente

Via dei Glicini 14 - 87012 CASTROVILLARI Tel e Fax: 0981/483071
e.mail: amedeolucente@libero.it; www.amedeolucente.it

Tomografia Ottica a Radiazione Coerente (HD-OCT AngioPlex Zeiss)

Referto del Signor/ra

(HD-OCT n°)

Profilo Retinico:

Struttura Retinica:

Volumi Retinici:

Retina Interna:

Retina Esterna:

Complesso EPR/Coriocapillare/Coroide:

ONH:

RNFL Average:

GCL Average:

Angio-OCT Retina:

Angio-OCT ONH:

AS-OCT:

Combo Report:

CONCLUSIONI:

dott. Amedeo Luente

Se ascolto dimentico, se vedo ricordo, se faccio capisco



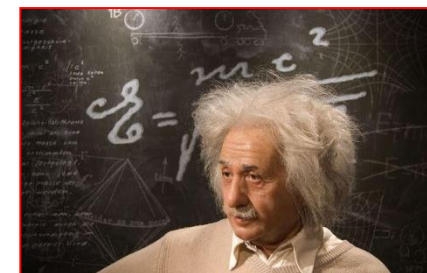
Confucio 551 a.C. – 479 a.C

Misura ciò che è misurabile, e rendi misurabile ciò che non lo è



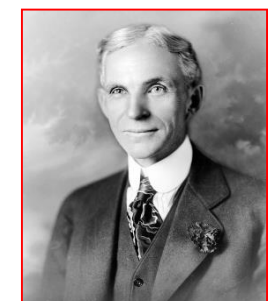
G. Galileo 1564 – 1642

**Tutto dovrebbe essere reso il più semplice possibile,
ma non più semplicistico**



A. Einstein 1879 – 1955

**C'è vero progresso solo quando i vantaggi di una nuova
tecnologia diventano per tutti**



Henry Ford 1863-1947

Thank you for your kind attention!

Angio-Plex Cirrus HD Zeiss Über Alles



www.amedeolucente.it